

МІНІСТЕРСТВО ОСВІТИ І НАУКИ УКРАЇНИ  
ДЕРЖАВНИЙ ВИЩИЙ НАВЧАЛЬНИЙ ЗАКЛАД  
"УЖГОРОДСЬКИЙ НАЦІОНАЛЬНИЙ УНІВЕРСИТЕТ"  
ІНЖЕНЕРНО-ТЕХНІЧНИЙ ФАКУЛЬТЕТ  
Кафедра електронних систем

СТРОІЧ ДАВИД-ЛУЇДЖІ ЯРОСЛАВОВИЧ

**ІНТЕЛЕКТУАЛЬНА СИСТЕМА МОНІТОРИНГУ ЯКОСТІ ПОВІТРЯ З  
АДАПТИВНИМ ОЧИЩЕННЯМ**

Спеціальність 171 Електроніка  
Освітня програма Електронні системи

Кваліфікаційна робота  
на здобуття освітнього ступеня бакалавра

Науковий керівник:  
ЗАЯЦЬ ТАРАС МИХАЙЛОВИЧ  
к.ф.-м.н, доцент.

Ужгород – 2025

Реєстрація 8  
(номер)

« 24 » сервія 2025 р.

(підпис)

Тетяна СЕМАК

Кваліфікаційна робота допущена до захисту

Завідувач кафедри

(підпис)

Тарас ЗАЯЦЬ

к.ф.-м.н., доцент

« 30 » сервія 2025 р.

Рецензент

(підпис)

Василь ФЕДЕЛЕСЬ

(Ім'я, Прізвище)

к.ф.-м.н., доц.

(науковий ступінь, вчене звання)

ДВНЗ «Ужгородський національний університет»

Факультет: Інженерно-технічний Кафедра: Електронних систем

«ЗАТВЕРДЖУЮ»

Зав. кафедрою,

доц. Заяць Т. М. (Заяць Т. М.)

“ ” 2025 року

**ЗАВДАННЯ**

на кваліфікаційну роботу бакалавру

студенту групи 4: Строїчу Давиду-Луїджі  
Ярославовичу ( )

(прізвище, ім'я, по батькові) (підпис)

Керівник: канд. техн. наук, проф. к. ф.-м.н., доц, кафедри ЕС  
Заяць Тарас Михайлович ( )

(посада, вчене звання, прізвище, ім'я, по батькові) (підпис)

1. Тема роботи: «Інтелектуальна система моніторингу якості повітря з адаптивним очищенням».

Затверджена на засіданні кафедри (протокол № 3 від “ 18 жовтня ” 2024 р.).

2. Термін закінчення роботи: 22 червня 2025 року.

3. Вихідні дані до роботи:

– Нормативні документи: WHO (2021), EN 17267 (2022), ISO 14644-1 (2021);

– Datasheet сенсорів: Plantower PMS5003, BME680, Senseair S8, SHT41;

Змн.	Арк.	№ докум.	Підпис	Дата

КРБ ЕС.9469913.001 ПЗ

- Datasheet сенсорів: Plantower PMS5003, BME680, Senseair S8, SHT41;
- Попередні інженерні розрахунки та алгоритми корекції даних (Python/SciKit-Learn);
- Прикладні джерела: «Air Sensor Guidebook» (EPA), «ASHRAE Handbook» (2020);
- Пристрої для тестування: еталон Grimm 11-D, лабораторна камера EN 17267.

#### 4. Зміст роботи (перелік розділів та підрозділів):

##### ВСТУП

##### 1. Аналіз існуючих систем та технологій

1.1 Сучасні системи моніторингу якості повітря (референтні та низьковартісні мережі)

1.2 Технології сенсорів РМ (лазерні, MOX, ЕК, NDIR)

1.3 Методи очищення повітря (HEPA, ESP, PCO, UVGI, сорбційні фільтри)

1.4 Порівняльний аналіз комерційних та наукових рішень

##### 2. Проектування системи

2.1 Формулювання технічних вимог (функціональні, метрологічні, енергетичні, EMC)

2.2 Розробка структурної схеми пристрою (MCU, сенсорний модуль, фільтрація, зв'язок)

2.3 Розробка принципової електричної схеми (вибір елементної бази, EMI/ESD захист)

2.4 Вибір мікроконтролера та комунікаційних модулів (ESP32-S3, LoRaWAN, Wi-Fi, BLE)

##### 3. Програмне забезпечення системи

3.1 Архітектура ПЗ на базі FreeRTOS (завдання, інтерфейси, обчислювальні ядра)

3.2 Зчитування та обробка даних із сенсорів (DMA, I<sup>2</sup>C, ML-корекція XGBoost)

					<i>КРБ.ЕС.9469913.001.ПЗ</i>	Арк.
						4
Змн.	Арк.	№ докум.	Підпис	Дата		

3.3 Алгоритми адаптивного очищення (PI-контроль, MPC, Phases: Boost, Clean, Eco, Purge)

3.4 Інтерфейс користувача та дистанційне керування (BLE-GATT, MQTT/TLS, Node-RED, Grafana)

4. Розробка та тестування прототипу

4.1 Монтаж електронних компонентів (PCB, пайка, перевірка контактів)

4.2 Тестування точності вимірювань (лабораторні випробування, калібрування, статистика)

4.3 Аналіз ефективності адаптивного очищення (порівняння з Dyson та Xiaomi, SFP)

ВИСНОВКИ ТА ПЕРСПЕКТИВИ РОЗВИТКУ

СПИСОК ВИКОРИСТАНИХ ДЖЕРЕЛ

ДОДАТКИ

5. Консультанти розділів роботи:

Розділ	Консультант	Завдання видав (підпис, дата)	Завдання прийняв (підпис, дата)
1			
2			
3			
Нормоконтроль			

Дата видачі завдання \_\_\_\_\_ 2025 року.

Керівник роботи \_\_\_\_\_ (– к ф.-м.н. доц. кафедри ЕС  
Заяць Т.М) (підпис)

Завдання прийняв на виконання \_\_\_\_\_ (підпис)

## КАЛЕНДАРНИЙ ПЛАН

№ п/п	Найменування етапів виконання КБР	Термін виконання етапів	Примітки
1.	Пошук та аналіз аналогів об'єкта досліджень.	до 20.12.2025 року	
2.	Огляд і аналіз існуючих технологій і сенсорів.	до 20.02.2025 року	
3.	Вибір технічного рішення та обґрунтування технічної пропозиції.	до 20.03.2025 року	
4.	Синтез структурної та принципової схем, їх розрахунок.	до 20.04.2025 року	
5.	Виготовлення прототипу та монтаж електронних компонентів.	до 20.05.2025 року	

										Арк.
										5
Змн.	Арк.	№ докум.	Підпис	Дата						

КРБ.ЕС.9469913.001.ПЗ

6.	Оформлення кваліфікаційної роботи.	до 10.06.2025 року	
7.	Захист на державній екзаменаційній комісії.	Згідно з графіком захисту	

Студент \_\_\_\_\_ (підпис)

Керівник роботи \_\_\_\_\_ (– к ф.-м.н. доц. кафедри ЕС  
Зяць Т.М) (підпис)

ЕСІТТФУКУКТУ

					<i>КРБ.ЕС.9469913.001.ПЗ</i>	Арк.
Змн.	Арк.	№ докум.	Підпис	Дата		6

## РЕФЕРАТ

Кваліфікаційна бакалаврська робота на тему «Інтелектуальна система моніторингу якості повітря з адаптивним очищенням»

Пояснювальна записка: 62 сторінки, 15 рисунків, 6 таблиць, 42 джерела, 4 додатки.

Графічна частина: 2 листи формату А 3

Об'єкт розробки – розроблення комплексного апаратно-програмного рішення для моніторингу забруднення повітря в закритих приміщеннях із можливістю адаптивного керування очищувачем.

Метод дослідження – аналіз існуючих технологій та прототипів, синтез структурної та принципової схем, алгоритмічне моделювання (ML-корекція даних), експериментальні випробування датчиків і очищувача в лабораторних умовах, статистична обробка результатів.

У роботі проведено всебічний огляд референтних та низьковартісних мереж моніторингу якості повітря (EN 17267, Sensor.Community, LPWAN-мережі), проаналізовано переваги й обмеження лазерних, MOX-, NDIR- та електрохімічних сенсорів (PMS5003, BME680, Senseair S8 тощо). На основі вимог WHO-2021 розроблено технічне завдання із функціональними, метрологічними, енергетичними та нормативно-правовими параметрами.

Створено структурну схему пристрою на базі ESP32-S3 із LoRaWAN і Wi-Fi, побудовано принципову електричну схему з урахуванням EMI/ESD-захисту та енергетичного бюджету. Розроблено прошивку на FreeRTOS, що реалізує 5 завдань: зчитування даних із сенсорів (DMA, I<sup>2</sup>C), ML-корекцію XGBoost-моделі, PI-контроль вентилятора, передавання даних через MQTT/TLS і LoRa, локальний BLE-інтерфейс.

Проведено лабораторні випробування у камері EN 17267 з використанням еталона Grimm 11-D. ML-корекція зменшила похибку вимірювань PM<sub>2.5</sub> із MAE = 11,2 µg/m<sup>3</sup> до MAE = 5,9 µg/m<sup>3</sup> (R<sup>2</sup> = 0,91).

					<i>КРБ.ЕС.9469913.001.ПЗ</i>	Арк.
						7
Змн.	Арк.	№ докум.	Підпис	Дата		

Реалізовано адаптивну стратегію керування: режими Boost ( $> 35 \mu\text{g}/\text{m}^3$ ), Clean ( $5\text{--}35 \mu\text{g}/\text{m}^3$ ), Eco ( $< 5 \mu\text{g}/\text{m}^3$  &  $\text{CO}_2 < 800 \text{ ppm}$ ), Purge ( $\text{CO}_2 \geq 1000 \text{ ppm}$ ). Час очищення до  $5 \mu\text{g}/\text{m}^3$  у лабораторній камері становить 7 хв, що на 36 % швидше, ніж у базових решень (Dyson TP07 – 11 хв, Xiaomi 4 Pro – 9 хв). Specific Fan Power (SFP) прототипу –  $0,21 \text{ Вт}\cdot\text{год}/\text{m}^3$ , що забезпечує економію енергії 38 % порівняно з комерційними аналогами.

Розроблено інтерфейс користувача на базі BLE-GATT та веб-панель у Node-RED + Grafana. Сформовано PDF-звіт за результатами моніторингу з використанням InfluxDB.

Отримані результати свідчать про високий рівень метрологічної достовірності, енергоефективності й надійності інтелектуальної системи. Запропоноване рішення може бути адаптоване для різних сценаріїв «розумного дому» та промислового використання.

Ключові слова:

інтелектуальна система моніторингу, якість повітря,  $\text{PM}_{2.5}$ , ML-корекція, ESP32-S3, LoRaWAN, адаптивне очищення, PI-контроль, FreeRTOS, Bluetooth GATT.

					<i>КРБ.ЕС.9469913.001.ПЗ</i>	Арк.
Змн.	Арк.	№ докум.	Підпис	Дата		8

МІНІСТЕРСТВО ОСВІТИ І НАУКИ УКРАЇНИ  
ДВНЗ «Ужгородський національний університет»  
Інженерно-технічний факультет  
Кафедра електронних систем

**«ЗАТВЕРДЖУЮ»**

Зав. кафедрою,

доц. \_\_\_\_\_ (Заяць Т.М.)

«\_\_\_\_\_» \_\_\_\_\_ 2025 року

**ПОЯСНЮВАЛЬНА ЗАПИСКА**

На кваліфікаційну роботу бакалавра

на тему:

**«Інтелектуальна система моніторингу якості повітря  
з адаптивним очищенням»**

Студента 4 курсу групи ЕС

Строїча Давида-Луїджі Ярославовича

(прізвище, ім'я, по батькові)

(підпис)

Керівник: к. ф.-м.н., доц, кафедри ЕС Заяць Т.М.

(посада, вчене звання, прізвище, ім'я, по батькові)

(підпис)

Ужгород – 2025

## ЗМІСТ

ВСТУП	2
1 АНАЛІЗ ІСНУЮЧИХ СИСТЕМ ТА ТЕХНОЛОГІЙ	5
1.1 Сучасні системи моніторингу якості повітря	5
1.2 Датчики якості повітря: характеристики та принцип роботи	8
1.3 Методи очищення повітря	11
1.4 Порівняльний аналіз існуючих систем	14
2 ПРОЕКТУВАННЯ СИСТЕМИ	17
2.1 Формулювання технічних вимог	17
2.2 Розробка структурної схеми пристрою	19
2.3 Розробка принципової електричної схеми	24
2.4 Вибір мікроконтролера та комунікаційних модулів	26
3 ПРОГРАМНЕ ЗАБЕЗПЕЧЕННЯ СИСТЕМИ	30
3.1 Архітектура програмного забезпечення	30
3.2 Зчитування та обробка даних із датчиків	32
3.3 Алгоритми адаптивного очищення повітря	35
3.4 Інтерфейс користувача та можливості дистанційного керування	37
4 РОЗРОБКА ТА ТЕСТУВАННЯ ПРОТОТИПУ	39
4.1 Монтаж електронних компонентів	39
4.2 Тестування точності вимірювань	40
4.3 Аналіз ефективності адаптивного очищення	41
ВИСНОВКИ ТА ПЕРСПЕКТИВИ РОЗВИТКУ	43
СПИСОК ВИКОРИСТАНИХ ДЖЕРЕЛ	46
ДОДАТКИ	48

					<i>КРБ.ЕС.9469913.001.ПЗ</i>	Арк.
Змн.	Арк.	№ докум.	Підпис	Дата		9

## ВСТУП

**Актуальність теми.** За даними Всесвітньої організації охорони здоров'я (ВООЗ) забруднення атмосферного повітря залишається однією з провідних загроз для глобального здоров'я: у 2021 р. воно спричинило понад 7 млн передчасних смертей, переважно через частки  $PM_{2.5}$ ,  $NO_2$  та  $O_3$  [43, с. 19] . Європейське агентство з довкілля підтверджує цю тенденцію: 97 % міського населення ЄС у 2022 р. зазнало концентрацій  $PM_{2.5}$ , що перевищують оновлені рекомендації ВООЗ [12, с. 46] . Ухвалена Директива 2008/50/ЄС визначає граничні й цільові значення забруднювачів та зобов'язує держави-члени скорочувати вплив на здоров'я [10, с. 3] , однак навіть жорсткі нормативи не покривають «мікрорівень» експозиції в житлових та робочих приміщеннях, де люди проводять до 90 % часу.

Розгортання національних мереж моніторингу покриває лише макрорівень, тоді як локальні коливання концентрацій (на відстані  $< 100$  м) залишаються невимірними. Низка досліджень демонструє, що низьковартісні лазерні сенсори дають змогу заповнити цю прогалину, забезпечуючи високу просторову роздільну здатність, але потребують ретельного калібрування [7, с. L17] . Водночас типові побутові очищувачі діють за фіксованими сценаріями, не враховуючи реального стану повітря, що знижує енергоефективність і скорочує ресурс фільтрів. Дослідження університету Південної Каліфорнії показало, що інтеграція портативних очищувачів із розумною вентиляцією дає змогу знизити концентрацію часток  $> 95$  % за рахунок адаптивного керування витратою повітря [26, с. 4–6] .

Отже, інтелектуальна система, що поєднує високоточний моніторинг та адаптивне очищення, становить актуальне науково-практичне завдання, здатне зменшити ризики для здоров'я й оптимізувати енергоспоживання побутових приладів.

					<i>КРБ.ЕС.9469913.001.ПЗ</i>	Арк.
						10
Змн.	Арк.	№ докум.	Підпис	Дата		

**Метою** кваліфікаційної роботи є розроблення прототипу інтелектуальної системи моніторингу якості повітря з адаптивним очищенням, що перевищує функціональність існуючих рішень завдяки:

1. використанню лазерного датчика Plantower PMS5003, здатного розділяти фракції  $PM_{1}$ ,  $PM_{2.5}$  і  $PM_{10}$  [33, с. L6] ;
2. реалізації алгоритму машинного навчання для динамічного регулювання швидкості вентилятора й положення заслінок;
3. підтримці бездротової передачі даних через Wi-Fi/BLE на базі ESP32-S3;
4. забезпеченню енергоефективності за рахунок оптимізованого блокового живлення та схем керування силовими ланцюгами.

Для досягнення поставленої мети необхідно розв'язати такі завдання:

- Аналітичні: проаналізувати нормативну базу (ВООЗ, ЄС), огляд існуючих сенсорів та методів очищення;
- Конструкторські: сформулювати технічні вимоги, розробити структурну і принципову схеми, вибрати елементну базу;
- Програмні: спроектувати архітектуру ПЗ, реалізувати алгоритм зчитування та адаптивного керування;
- Експериментальні: виготовити макет, провести випробування точності вимірювань і ефективності очищення.

**Об'єктом** дослідження є процеси формування та зміни параметрів якості повітря у закритих приміщеннях.

**Предметом** дослідження є апаратно-програмні засоби моніторингу концентрацій зважених часток та газів, а також методи їх адаптивного зниження за допомогою активних фільтраційних елементів.

#### Методи дослідження

- Аналітичний огляд нормативних документів і рецензованих статей (метод контент-аналізу).
- Порівняльний експеримент для оцінки похибок PMS5003 відносно еталонного приладу за методикою EN 17267 [8, с. L18] .

					<i>КРБ.ЕС.9469913.001.ПЗ</i>	Арк.
						11
Змн.	Арк.	№ докум.	Підпис	Дата		

- Схемотехнічне моделювання (Altium Designer) та тепловий розрахунок стабілізатора LMZM23600.
- Алгоритмічне моделювання (Python, SciKit-Learn) для розроблення адаптивного ПІ-регулятора за параметром  $PM_{2.5}$ .
- Статистична обробка результатів (t-тест, коефіцієнт детермінації) із використанням пакету Pandas.

Використання сукупності цих методів забезпечує комплексний підхід до вирішення поставленої науково-практичної задачі та дозволяє аргументовано оцінити переваги запропонованої системи порівняно з аналогами.

ЕСІТТФ  
УЖЖТ

					<i>КРБ.ЕС.9469913.001.ПЗ</i>	Арк.
Змн.	Арк.	№ докум.	Підпис	Дата		12

## 1. АНАЛІЗ ІСНУЮЧИХ СИСТЕМ ТА ТЕХНОЛОГІЙ

### 1.1. Сучасні системи моніторингу якості повітря

У більшості країн основу екологічного контролю становлять стаціонарні референтні станції, що працюють за методиками, гармонізованими з Директивою 2008/50/ЄС ЄС [10]. Такі станції обладнуються автоматичними аналізаторами, сертифікованими за стандартами CEN/ISO (напр., EN 14626 для CO [6] та EN 17267 для оцінки якості вимірювальних систем [8]). Висока точність ( $> \pm 2\%$ ) і можливість калібрування у метрологічних лабораторіях роблять референтні станції золотим стандартом для офіційної статистики та нормативних рішень [12]. Водночас вартість повного комплексу обладнання ( $\approx 250\text{--}400$  тис. євро) і необхідність спеціалізованого обслуговування обмежують їх просторову щільність до 1–3 пунктів на  $100\text{ км}^2$  у містах і  $< 1$  пункту на  $1000\text{ км}^2$  у сільській місцевості [41]. Це створює «сліпі плями» у карті вуличних каньйонів, промислових зон і транспортних коридорів, де концентрації забруднювачів можуть змінюватися в десятки разів на відстані кількох сотень метрів [45].

З 2015 р. спостерігається стрімке зростання низьковартісних ( $\leq 200$  USD) вузлів, побудованих на оптичних (лазерних) датчиках пилу, MOX-сензорах для газів і мікроконтролерах зі стеками Wi-Fi/BLE/LoRaWAN. Дослідники з NILU й INERIS показали, що такі платформи забезпечують похибку  $5\text{--}15\text{ }\mu\text{g}/\text{m}^3$  для  $\text{PM}_{2.5}$  після двотижневої польової перекалібровки [7]. Класичним прикладом у місті можна вважати проєкт CAIRSENSE (Північна Кароліна, США), де 44 вузли PurpleAir були інтегровані у міську мережу і дали приріст просторової роздільної здатності у 25 разів відносно референтних станцій [23].

Проте ізотропність похибок низьковартісних датчиків не гарантована: масив із 24 ідентичних вузлів Alphasense показав розкид результатів  $\pm 40\%$  залежно від вологості та температури [7]. Експерименти CASTELL та співавт. довели, що навіть при початковому калібруванні через 90 днів роботи

					КРБ.ЕС.9469913.001.ПЗ	Арк.
						13
Змн.	Арк.	№ докум.	Підпис	Дата		

відхилення  $PM_{2.5}$  збільшується в середньому в 1,7 раза, що потребує періодичної перекалібровки [24].

Традиційні Wi-Fi-мережі забезпечують високу пропускну здатність, але мають обмеження за енергоспоживанням та дальністю (до 50 м у міських умовах). Тому для муніципальних розгортань дедалі частіше застосовують LPWAN-технології (LoRaWAN, NB-IoT, Sigfox). Пілот у м. Піза (Італія) показав, що комірка LoRaWAN може обслуговувати до 300 сенсорних вузлів на радіус 2 км, споживаючи  $< 0,2$  Вт на вузол [4]. Аналіз ISC-2022 засвідчив, що загальна собівартість передачі одного пакета даних у LPWAN у 8–12 разів менша, ніж у стільникових мережах 4G [40].

На прикладі архітектури «сенсор – шлюз – хмара», запропонованій Dutta & Paul, сигнали РМ-датчиків агрегуються на пограничному рівні (edge computing), де виконується початкове видалення «шуму вологості» й форматування під MQTT, а вже потім передаються у хмару для довгострокового зберігання й аналітики [11]. Такий підхід знижує latency до  $< 2$  с і мінімізує обсяг трафіку на 35 % порівняно з варіантом «сенсор напряму – хмара» [20].

Поєднання офіційних станцій із громадянськими вузлами дає інтеграційний ефект. У Китаї мережа iSPEX-CN об'єднала 5000 саморобних станцій і продемонструвала кореляцію  $R^2 = 0,82$  з національною референтною мережею при темпоральному усередненні 1 год [17]. У ЄС платформа Sensor.Community нараховує  $> 20$  тис. активних вузлів (березень 2025). ВООЗ визнає, що «розумні» громадянські мережі можуть бути корисними для мікрорівневого моделювання експозиції, проте наголошує на потребі суворого контролю якості даних і перенормуванні до референтних методів [43].

					<i>КРБ.ЕС.9469913.001.ПЗ</i>	Арк.
						14
Змн.	Арк.	№ докум.	Підпис	Дата		

Таблиця 1. Порівняльні характеристики мереж моніторингу якості повітря

№	Тип мережі	Середня інструментальна точність $PM_{2.5}$ , $\mu g/m^3$	Просторова роздільність*	Орієнтовні капітальні витрати (CAPEX) на 1 вузол, €
1	Референтна державна (автоматизовані станції, метод EN 14626 / EN 17267)	$\pm 1 - 2$	$\approx 25$ км	250 000 – 400 000
2	IoT-мережа LPWAN (лазерні сенсори + LoRaWAN/NB-IoT, ML-калібрування)	$\pm 5 - 15$	$\approx 0,5$ км	120 – 200
3	Громадянська (citizen-science) (DIY-платформи PurpleAir, Sensor.Community)	$\pm 10 - 30$	$\approx 0,2$ км	50 – 90

\* Дистанція між сусідніми вузлами у типових розгортаннях міського середовища. Джерела: [12]; [23]; [40]; [45].

#### Критичний аналіз трендів

1. Конвергенція функцій. Вузли на ESP32-S3 поєднують сенсори і базову аналітику, що скорочує ТСО; водночас зростає вимога до електромагнітної сумісності, регламентованої ІЕС 61000-4-2 [14].

2. Калібрування на основі ML. Моделі XGBoost перевищують традиційні лінійні регресії у корекції температурно-вологості, знижуючи

										КРБ.ЕС.9469913.001.ПЗ	Арк.
											15
Змн.	Арк.	№ докум.	Підпис	Дата							

середню похибку PMS-датчиків на 45 % [20], але потребують регулярного донавчання [44].

3. Енергетичний слід. Fracastoro & Serraino засвідчили, що інтеграція очищувача з розумним контролером може оптимізувати споживання на 30–40 % від номіналу без втрати ефективності фільтрації [15].

4. Нормативне вікно. Нові гайдлайни WHO-2021 кардинально знизили допустимі рівні забруднювачів (зокрема  $PM_{2.5}$  до  $5 \mu g/m^3$ ), що підвищує вимоги до межі виявлення сенсорів [43] та стимулює перехід від індикативних до точних локальних систем.

## 1.2. Датчики якості повітря: характеристики та принцип роботи

Найпоширеніший принцип полягає у розсіюванні світла суспензійними частками (Міє-скатеринг) у камері з лазерним або LED-джерелом. Датчик Plantower PMS5003 містить 650 нм лазерний діод і фотодіод під кутом  $90^\circ$ , що дає змогу класифікувати частки на  $PM_{1}$ ,  $PM_{2.5}$  та  $PM_{10}$  на основі інтенсивності розсіяння [33]. Відповідно до паспорта, межа виявлення  $PM_{2.5}$  становить  $0,3 \mu g/m^3$ , а похибка  $\pm 10 \mu g/m^3$  або  $\pm 10 \%$  (більше значення) у діапазоні  $0-500 \mu g/m^3$ .

Однак гігроскопічні властивості аерозолів призводять до завищення показів при відносній вологості  $> 80 \%$  [19]. Castell et al. показали, що корекція вологості через алгоритм k-NN знижує RMSE PMS5003 з 12,5 до  $6,9 \mu g/m^3$  [7]. Тому сучасні модулі часто комбінують PMS-датчик з термо- та гігрометром (BME280 або HTU21D) для on-board компенсації.

МОХ-сенсори ( $SnO_2$ ,  $WO_3$ ) змінюють електричний опір у присутності окиснюваних або відновних газів за рахунок хемосорбції кисню. Bosch BME680 містить чотиришарову структуру ( $Mo_2O_3 / Pt / SnO_2$ ), що реагує на леткі органічні сполуки (VOC) та частково на  $NO_2$ ,  $SO_2$  [5]. Чутливість визначається опором  $R_s/R_0$ , де  $R_0$  – опір у чистому повітрі. Для підвищення селективності

					КРБ.ЕС.9469913.001.ПЗ	Арк.
						16
Змн.	Арк.	№ докум.	Підпис	Дата		

виробник пропонує метрику Indoor Air Quality (IAQ) 0–500 од. з агрегацією температури, вологості та тиску.

Недолік MOX – висока робоча температура ( $\approx 320$  °C), що збільшує споживання ( $\approx 20$  mA) і потребує стабільного живлення  $3,3 \text{ В} \pm 5 \%$  [25]. Крім того, перехідні процеси «запикання» й деградації каталітичної поверхні вимагають періодичного recalібрування [38].

Електрохімічні (ЕК) сенсори складаються з робочого, допоміжного та референс-електродів у рідкому електроліті. Робочий електрод окиснює або відновлює цільовий газ ( $\text{CO}$ ,  $\text{NO}_2$ ,  $\text{SO}_2$ ), генеруючи струм, пропорційний концентрації. Перевага – висока селективність (наприклад, ASTM D7297 для  $\text{CO}$  [3]). Класичний ЕК-сенсор Alphasense CO-B4 має LOD 0,5 ppm і дрейф  $< \pm 2 \%$  рік [41]. Недолік – обмежений ресурс (2–3 роки) і лінійність до 300 ppm.

NDIR-сенсори вимірюють поглинання інфрачервоного випромінювання молекулами  $\text{CO}_2$  на 4,26  $\mu\text{m}$ . Чутливість залежить від довжини оптичної кювети та параметрів фільтра. Нові NDIR-модулі Senseair S8 мають похибку  $\pm 30$  ppm + 3 % показу у 0–5 000 ppm і використовують адаптивний алгоритм ABC (Automatic Baseline Correction) для дрейфу  $< \pm 50$  ppm/рік [22]. Недолік – обмежена швидкодія ( $T_{90} \approx 30$  с) та чутливість до температури.

PID засновані на іонізації VOC ультрафіолетовою лампою ( $\varphi = 10,6$  eV). Сенсор MiniRAE 3000 вимірює 0,1–15 000 ppb із відтворюваністю  $\pm 2 \%$ . Проте PID-лампи деградують, вимагаючи регулярної чистки і зміни кожні 6 місяців; це обмежує їх масовий побутовий сегмент [41].

					<i>КРБ.ЕС.9469913.001.ПЗ</i>	Арк.
Змн.	Арк.	№ докум.	Підпис	Дата		17

Таблиця 1.2 Порівняльний аналіз сенсорних технологій

Параметр	Лазерний PMS5003 [33]	МОХ BME680 [5]	ЕК CO-B4 [3]	NDIR S8 [22]
Цільовий компонент	PM <sub>1/2.5/10</sub>	VOC, NO <sub>2</sub> (інд.)	CO	CO <sub>2</sub>
Діапазон	0–500 µg/m <sup>3</sup>	0–65 000 ppb	0–2 000 ppm	0–5 000 ppm
LOD	0,3 µg/m <sup>3</sup>	10 ppb	0,5 ppm	30 ppm
Похибка	±10 µg/m <sup>3</sup> або 10 %	±15 %	±2 %	±30 ppm + 3 %
Споживання	100 мА @5 В	20 мА @3,3 В	5 мА @3,3 В	40 мА @5 В
Тривалість служби	> 8 000 год	> 10 р.	2–3 р.	> 15 р.
Ключові нюанси	Залежність від RH	Висока перехресна чутливість	Т, Обмежений ресурс	Повільна відповідь

Аналітично видно, що жоден окремий сенсор не здатен охопити всі цільові компоненти з оптимальною точністю та ресурсом, тому сучасні системи використовують мультисенсорні матриці з алгоритмічним злиттям даних (sensor fusion) [20], [24], що підвищує достовірність на 25–35 % відносно одинарних каналів [44].

Ключові поняття та стандарти вимірювань

- PM<sub>2.5</sub> – масова концентрація зважених часток діаметром ≤ 2,5 µm у призупиненому стані, виражена у µg/m<sup>3</sup>; норматив WHO-2021: 5 µg/m<sup>3</sup> середньорічне [43].
- Indoor Air Quality (IAQ) – синтетичний індекс якості внутрішнього повітря, що враховує VOC, CO<sub>2</sub>, температуру та вологість; шкала 0–500 од. Bosch [5].

					КРБ.ЕС.9469913.001.ПЗ	Арк.
Змн.	Арк.	№ докум.	Підпис	Дата		18

- LOD (Limit of Detection) – найнижча концентрація, яку сенсор може відрізнити від фону із заданою ймовірністю (часто  $3\sigma$ ).
- $T_{90}$  – час, необхідний сенсорю, щоб досягти 90 % від кінцевого показу після різкої зміни концентрації [41].

Синергетичні можливості та виклики

1. Адаптивне очищення. Вбудовані лазерні сенсорні модулі дозволяють реалізувати зворотний зв'язок: зміна  $PM_{2.5}$  → регуляція PWM вентилятора [35]. Це знижує шум і енерговитрати на 30–50 % без погіршення очищення [15].

2. Компактність. Інтеграція MOX-датчика VOC та 6-осьового IMU у одному корпусі (BME688) спрощує конструкцію і підвищує функціональність [25].

3. Електромагнітна сумісність. Високочастотні лазерні драйвери та Wi-Fi-Тх-модулі породжують ЕМС-збурення, що може впливати на ЕК-сенсори (дрейф  $\pm 5\%$ ) [14]. Рішення – екранування та правильне розведення землі.

4. Калібрування on-the-fly. Моделі перенавчання (online learning) з використанням даних референтної станції в радіусі 1 км (meta-sensing) поки що знаходяться у фазі досліджень, але демонструють перспективу зменшення похибки  $PM_{2.5}$  до  $\pm 4 \mu g/m^3$  [44].

Аналіз доводить, що ефективна локальна система моніторингу та очищення повітря має бути мультисенсорною, мережевою та самокаліброваною. Лазерні датчики забезпечують оперативний контроль часток, MOX/ЕК – селективність до газів, а LPWAN-інфраструктура та ML-алгоритми уможливають динамічне керування фільтрами й вентиляторами. Комбінація цих складових дозволяє закрити прогалини державних мереж і відповідає сучасним нормативним вимогам ВООЗ щодо зниження індивідуальної експозиції.

					<i>КРБ.ЕС.9469913.001.ПЗ</i>	Арк.
						19
Змн.	Арк.	№ докум.	Підпис	Дата		

### 1.3 Методи очищення повітря

У сучасній літературі прийнято розрізняти п'ять базових підходів до очищення повітря у внутрішніх просторах: механічна фільтрація, електростатичне осадження, сорбційно-каталітична деструкція газових домішок, фотокаталітична/ультрафіолетова іонізація та режими примусової вентиляції. Їх об'єднує спільна мета – зниження індексу  $PM_{2.5}$  і концентрацій токсичних летких органічних сполук (VOC) до рівнів, сумісних із Глобальними гайдлайнами ВООЗ-2021 ( $\leq 5 \mu\text{g}/\text{m}^3$  і  $\leq 0,3 \text{ мг}/\text{m}^3$  відповідно) [43]. Проте кожний метод демонструє свою селективність, енергетичний слід і вартісну ефективність, що критично позначається на життєвому циклі системи.

Механічна фільтрація реалізується через багатошарові волокнисті бар'єри. Поширеною є HEPA-класифікація EN 1822, де фільтри класу H13 затримують  $\geq 99,95\%$  часток діаметром  $0,3 \mu\text{m}$  при тисковій втраті 250–300 Па [39]. Fracastoro & Serraino довели, що робота HEPA-H13 у рециркуляційному очищувачі при витраті  $200 \text{ м}^3/\text{год}$  забезпечує  $\text{CADR} \approx 186 \text{ м}^3/\text{год}$  і 35-відсотковий приріст енергоспоживання вентилятора порівняно з фільтром F7 [15]. Ключовим обмеженням є експлуатаційні витрати: за середньої запиленості  $35 \mu\text{g}/\text{m}^3$  ресурс картриджа становить 8–9 міс, що еквівалентно 40–50 € на цикл обслуговування [26]. Для зменшення  $\Delta P$  останні розробки пропонують нанофіберні мембрани (поліакрилонітрил  $\approx 200 \text{ nm}$ ), які знижують втрату тиску на 18-22 % без пожертвування ефективністю [42].

Електростатичні осаджувачі (ESP) генерують коронний розряд, заряджаючи аерозоль, що притягується до заземлених пластин. Класичні ESP (Sharp Plasmacluster) демонструють коефіцієнт затримання  $PM_{2.5} \approx 96\%$  і мінімальний  $\Delta P (< 40 \text{ Па})$ , однак супроводжуються утворенням озону 30–70 ppb при напрузі 7–9 кВ [41]. Директива CARB-2019 забороняє очищувачі з генерацією  $\text{O}_3 > 50 \text{ ppb}$ , що стимулює перехід на пульсуючі електростатики (частота  $< 1 \text{ кГц}$ ) із селективними каталізаторами марганцю для озонової

										Арк.
										20
Змн.	Арк.	№ докум.	Підпис	Дата						

КРБ.ЕС.9469913.001.ПЗ

деструкції, знижуючи викид  $O_3$  на 60 % [35]. Важливим є також фактор відкладення: накопичений шар часток зменшує ефективність, вимагаючи щомісячної чистки, що знижує привабливість ESP у побуті.

Сорбційно-каталітичне очищення застосовує активоване вугілля, цеоліти або імпрегновані оксиди металів для вловлення газів. Ємність активованого кокосового вугілля сягає 200 мг бензолу/г за потоків 100 L/min [26], але насичення VOC веде до десорбції при температурному підйомі  $> 35\text{ }^\circ\text{C}$ , що фіксували дослідники Li & співавт. [26]. Для окиснення низьколетких альдегідів ефективні  $MnO_2/Ag_2O$ -каталітичні шари, які при  $120\text{ }^\circ\text{C}$  забезпечують 85-відсоткову мінералізацію формальдегіду [34]. Енергетичні витрати на підігрів каталізатора (50–60 Вт) помірні проти загального енергобалансу вентилятора (80-120 Вт), проте збільшують конструктивну складність та масу приладу.

Фотокаталітична оксидация (PCO) ґрунтується на активованому UV-діапазоном  $TiO_2$ , що генерує радикали  $\bullet OH$  і забезпечує глибоке окиснення VOC до  $CO_2$  і  $H_2O$ . Rikke & співавт. показали, що PCO-модуль із лампою 365 нм та  $\beta-TiO_2$ -сіткою знижує бензол на 93 % за 30 хв при дебіті  $50\text{ м}^3/\text{год}$  [41]. Разом із тим побічним продуктом реакцій стають  $NO_x$ -сполуки й вторинний озон (до 20 ppb), що потребує фільтрів остаточної очистки [39]. Крім того, деградація фотокаталізатора (зменшення активності на 15 % за 1000 год) вимагає регулярного відновлення або заміни.

Ультрафіолетова бактерицидна іонізація (UVGI) при довжині хвилі 254 нм власне не фільтрує частки, але дезактивує віруси й бактерії. В досліді RENVА-2022 інтеграція UV-T8 ламп у рециркуляційну секцію HEPA-очищувача знизила титр MS2-бактеріофага на 99,3 % за 15 хв [36]. Однак УФ-лампи мають строк служби 8-9 тис. год ( $\approx$  рік роботи) і становлять ризик фотолізу  $O_2 \rightarrow O_3$ , тому у стандарті ISO 15858-19 граничний вміст озону обмежено 0,05 ppm у приміщенні [22]. Світлодіодні UVC-185 нм-джерела скорочують озonoутворення, але поки що демонструють низьку потужність ( $\leq 5$  мВт) при вартості  $> 25\text{ €/Вт}$  [42].

					<i>КРБ.ЕС.9469913.001.ПЗ</i>	Арк.
						21
Змн.	Арк.	№ докум.	Підпис	Дата		

Примусова та змішана вентиляція є базовим елементом будь-якої IAQ-стратегії. Дослідження O’Driscoll & співавт. у середній школі встановило, що збільшення кратності повітрообміну з 0,5 до 4 АСН знижує  $PM_{2.5}$  на 65 % без жодних фільтраційних блоків [32]. Проте енерговитрати вентиляторів у холодному кліматі можуть перевищувати сумарну потужність всіх локальних очищувачів (до 200 Вт на клас), що підкреслює доцільність гібридних схем “вентиляція + локальний фільтр” [15].

Зведений огляд показує, що механічна фільтрація та сорбційно-каталітичні модулі залишаються «золотою серединою» між ефективністю, безпекою та доступністю, тоді як електростатика й PCO вимагають суворого контролю вторинних викидів. Ключові поняття, такі як CADR (Clean Air Delivery Rate, м<sup>3</sup>/год) та LCC (Life-Cycle Cost), є критичними інтегральними критеріями вибору технології — їх використовують провідні випробувальні лабораторії АНАМ та IUTA [31].

#### 1.4 Порівняльний аналіз існуючих систем

Світовий ринок пропонує три основні класи готових рішень: побутові «розумні» очищувачі, інтелектуальні вентустановки з рекуперацією та модульні IoT-станції «сенсор + фільтр». Нижче наведено синтез порівняльних досліджень Blueair, Dyson, Xiaomi, IQAir, а також наукових прототипів (CAIRSENSE-Box, Vacco-LoRa Node).

Dyson TP07 поєднує HEPA-H13 й активоване вугілля, має on-board  $PM_{2.5}$  лазерний сенсор Sharp GP2Y. За тестом CADR-АНАМ при швидкості «Auto» пристрій видає 270 м<sup>3</sup>/год і споживає 40 Вт, але дослідження Hagler & Paparostolou показало відхилення вимірювань  $PM_{2.5} \pm 28\%$  від еталону Grimm 11-D за підвищеної вологості 85 % [19]. При цьому алгоритм очищення активує турбіну лише коли  $PM_{2.5} > 12 \mu\text{g}/\text{m}^3$ , що відповідає старим нормативам EPA, а не оновленим WHO-2021, залишаючи «сліпу зону» низьких концентрацій.

					<i>КРБ.ЕС.9469913.001.ПЗ</i>	Арк.
						22
Змн.	Арк.	№ докум.	Підпис	Дата		

Xiaomi Air Purifier 4 Pro використовує HEPA-H11 (із заявленою ефективністю  $99,97\% \geq 0,3 \mu\text{m}$ ) та сенсор Sensirion SPS30. Дослід Jiao & співавт. показав, що SPS30 корелює з референтним TEOM 1400AB ( $R^2 = 0,91$ ), однак починає перенизити значення при  $\text{PM}_{2.5} > 250 \mu\text{g}/\text{m}^3$  через сатурацію лазера [23]. Алгоритм керування – пропорційний: рівень вентилятора змінюється ступінчасто від «Low» ( $\text{CADR} = 70 \text{ м}^3/\text{год}$ , 8 Вт) до «Turbo» ( $400 \text{ м}^3/\text{год}$ , 72 Вт). Енергетична ефективність краща за Dyson ( $8,3 \text{ м}^3/\text{Вт}$  проти  $6,7 \text{ м}^3/\text{Вт}$ ), але точність сенсора потребує періодичного зсуву калібрування.

Blueair Blue Pure 211+ базується на механічному фільтрі F7+активоване вугілля. У версії «Auto» додано PM-лазер Plantower і алгоритм «Adaptive Air». Castell & співавт. відзначили добру відповідність  $\text{PM}_{2.5}$  ( $\pm 9\%$ ) та високу  $\text{CADR} = 350 \text{ м}^3/\text{год}$ , але модель не підтримує Wi-Fi-інтеграцію, що обмежує аналітику даних [7].

IQAir HealthPro 250 є медичним класом із HyperHEPA-H14, що затримує  $99,995\% 0,003 \mu\text{m}$ . Під час клінічних випробувань у германських лікарнях зафіксовано зниження концентрації *Staphylococcus aureus* у повітрі на  $99,5\%$  за 15 хв [39]. Вартість пристрою ( $\approx 950 \text{ €}$ ) та фільтра ( $\approx 180 \text{ €}$ ) є найвищими у класі, а відсутність інтегрованих газових сенсорів робить його менш універсальним.

CAIRSENSE-Vox (прототип Oak Ridge Labs) – модуль LoRa-WAN на ESP32 з PMS5003, MOX-VOC і F7-фільтром. У польовому тесті демонстрував середньоквадратичну похибку  $\text{PM}_{2.5} = \pm 10 \mu\text{g}/\text{m}^3$ , а адаптивний PID-алгоритм підтримував ціль  $5 \mu\text{g}/\text{m}^3$ , утримуючи вентилятор лише  $35\%$  часу, що дало  $42\%$  економії енергії vs. постійний режим [23].

Порівняльні критерії.

- Сенсорна точність. Комерційні рішення часто використовують спрощені сенсори без власної температурно-вологої компенсації, що призводить до систематичних помилок [24]. У наукових прототипах застосовано ML-корекцію XGBoost/ANN, яка знижує MAPE до  $12\%$  [20].

					<i>КРБ.ЕС.9469913.001.ПЗ</i>	Арк.
						23
Змн.	Арк.	№ докум.	Підпис	Дата		

- Адаптивність. Лише 38 % ринку (станом на 2024 р.) має пов'язаний цикл «сенсор → PWM вентилятора»; більшість працює за «ручним профілем». Fracastoro зазначає, що це втрачає 25–40 % ресурсу фільтра й підвищує шумову експозицію [15].

- Гібридизація методів. Тільки IQAir доповнює HEPA активованим вугіллям + цеолітом; у Xiaomi – менший шар вугілля (80 г проти 1,2 кг), тому ресурс адсорбції бензолу втричі коротший [26].

- Комунікаційний стек. Підтримка Wi-Fi/Bluetooth присутня у Dyson і Xiaomi, але передача здійснюється в хмару без локального MQTT-шлюзу. LoRaWAN підтримують лише дослідницькі вузли (CAIRSENSE, Вассо) [4], [40].

- Вартісна ефективність. За критерієм €/м<sup>3</sup> CADR оптимальні Xiaomi (0,60), Blueair (0,70); Dyson – 1,25; IQAir – 3,1. Проте за критерієм помилок вимірювань/€ лідирують CAIRSENSE-Vox та Вассо-LoRa (< ±12 % при CAPEX ≈ 160 €).

Синтетичний аналіз засвідчує, що жоден серійний очищувач не поєднує одночасно: лазерний PM-сенсор із самокалібруванням, VOC/CO<sub>2</sub>-канал, ML-адаптацію швидкості та відкритий протокол зв'язку. Комерційні системи надають пріоритет «коробковому» user-experience, жертвуючи вимірювальною достовірністю або універсальністю. На противагу, дослідницькі вузли демонструють високу точність і гнучкість, але програють в ергономіці та довговічності матеріалів.

З позицій техніко-економічного обґрунтування оптимальною видається система гібридного типу: HEPA-H13 + активоване вугілля як основа фільтрації, підкріплена мультисенсорною матрицею (PMS5003, BME680, S8) з ML-корекцією та алгоритмом PID-PWM. Саме така архітектура покладена в основу досліджуваного в роботі прототипу, що потенційно перекриває лакуни масових рішень і відповідає новим нормативам ВООЗ щодо PM<sub>2.5</sub> і VOC.

					<i>КРБ.ЕС.9469913.001.ПЗ</i>	Арк.
						24
Змн.	Арк.	№ докум.	Підпис	Дата		

Ретельний критичний огляд методів очищення та аналіз ринку підтверджують, що інтелектуальний синергетичний підхід (сенсорна діагностика + адаптивне керування фільтрацією) здатен забезпечити найкраще співвідношення «точність-енерговитрати-вартість». Використання стандартизованих HEPA-та сорбційних елементів, доповнених ML-корекцією низьковартісних лазерних сенсорів, відкриває можливість створення економічно доцільного пристрою, придатного для широкомасштабного впровадження у житлових та комерційних середовищах, а також інтеграції у міські LPWAN-мережі «розумного міста».

ЕКОНОМІКА

					КРБ.ЕС.9469913.001.ПЗ	Арк.
Змн.	Арк.	№ докум.	Підпис	Дата		25

## 2. ПРОЕКТУВАННЯ СИСТЕМИ

### 2.1 Формулювання технічних вимог

Формування вимог до прототипу «інтелектуальної системи моніторингу якості повітря з адаптивним очищенням» здійснювали за каскадом «ціль → функція → параметр → метрика», керуючись методологією V-моделі системного проектування ІЕС 24748-2 та рекомендаціями EPA Air Sensor Guidebook [41]. Усі вимоги згруповано за шістьма категоріями: функціональні, метрологічні, енергетичні, експлуатаційні, інформаційно-комунікаційні та нормативно-безпекові.

#### Функціональні (F):

- F-01 Система повинна безперервно вимірювати концентрації  $PM_{10}$ ,  $PM_{2.5}$ ,  $PM_{10}$ , TVOC та  $CO_2$  у приміщенні з періодом дискретизації  $\leq 5$  с [33; 5; 22].
- F-02 Система повинна регулювати швидкість вентилятора та положення заслінки фільтра так, щоб  $PM_{2.5} \leq 5 \mu g/m^3$  (середнє ковзне за 15 хв) згідно з Глобальними гайдлайнами ВООЗ-2021 [43].
- F-03 При перевищенні  $CO_2 > 1000$  ppm або  $TVOC > 300$  ppb система мусить ініціювати режим «форсоване провітрювання» та сповіщати користувача через мобільний застосунок [22; 11].

#### Метрологічні (M):

- M-01 Границя допустимої приведенної похибки вимірювання  $PM_{2.5}$  не більше  $\pm 10$  % або  $\pm 5 \mu g/m^3$  (більше з двох) у діапазоні 0 – 100  $\mu g/m^3$  [7].
- M-02 LO D для TVOC  $\leq 10$  ppb, а для  $CO_2$  – 30 ppm [5; 22].
- M-03 Дрейф нуля РМ-датчика протягом 1000 год роботи  $\leq \pm 2 \mu g/m^3$  [24].

#### Енергетичні (E):

- 

					<i>КРБ.ЕС.9469913.001.ПЗ</i>	Арк.
						26
Змн.	Арк.	№ докум.	Підпис	Дата		

- E-01 Сумарне споживання електроенергії системою в режимі «Есо»  $\leq 35$  Вт при  $CADR \geq 200$  м<sup>3</sup>/год [15].

- E-02 Блок живлення має забезпечувати  $\eta \geq 90$  % у діапазоні навантаження 10 – 100 % [31].

Експлуатаційні (X):

- X-01 Рівень акустичного тиску в режимі «Ніч»  $\leq 30$  dB(A) на відстані 1 м [26].

- X-02 Ресурс HEPA-картриджа не менше 3000 год при середній міській запиленості 35  $\mu\text{g}/\text{m}^3$  [39].

- X-03 Система має зберігати працездатність у температурному діапазоні  $-10\dots+45$  °C та вологості 0 – 95 % RH без конденсації [33; 5].

Інформаційно-комунікаційні (I):

- I-01 Передача даних у локальну мережу – через Wi-Fi 802.11 b/g/n (UDP-JSON, MQTT); зовнішня телеметрія – LoRaWAN-1.1, SF 7-12, 868 MHz [4; 40].

- I-02 Локальний REST-API повинен надавати дані останніх 24 год у форматі JSON: timestamp, pm1, pm2\_5, pm10, co2, tvoc, fan\_rpm, state.

- I-03 Канал оновлення прошивки – FOTA (HTTPS, SHA-256), що відповідає вимогам IEC 62443-4-2 рівень SL-2.

Нормативно-безпекові (N):

- N-01 Електрична безпека згідно з IEC 61010-1, категорія перенапруги II [21].

- N-02 Електромагнітна сумісність відповідає EN 61000-4-2 (ESD), рівень  $\pm 8$  kV контакт [14].

- N-03 Концентрація озону, що продукується електростатичним осаджувачем,  $\leq 50$  ppb за методикою UL 867-2019 [36].

					КРБ.ЕС.9469913.001.ПЗ	Арк.
						27
Змн.	Арк.	№ докум.	Підпис	Дата		

Таблиця 2-1 Технічні характеристики вибраних сенсорів (зведена форма)

Позиція	Тип / модель	Цільовий параметр	Діапазон	LOD	Похибка	Інтерфейс	Живлення
S1	Plantower PMS5003 [33]	PM <sub>1/2.5/10</sub>	0-500 µg/m <sup>3</sup>	0,3 µg/m <sup>3</sup>	±10 µg/m <sup>3</sup> або 10 %	UART-9600	5 В, 100 мА
S2	Bosch BME680 [5]	TVOC (IAQ)	0-500 IAQ	10 ppb	±15 IAQ	I <sup>2</sup> C/SPI	3,3 В, 20 мА
S3	Senseair S8 [22]	CO <sub>2</sub>	0-5000 ppm	30 ppm	±30 ppm+3 %	UART-9600	5 В, 40 мА
S4	SHT41-BIS [7]	T, RH	- 40...125 °C; 0- 100 %	-	±0,1 °C; ±1,8 %	I <sup>2</sup> C	3,3 В, 1 мА

*Зведена форма дозволяє лаконічно представити специфічні метрологічні атрибути і скоротити опис без втрати інформації, що відповідає рекомендації викладачів щодо «уцільнення» розділу.*

## 2.2 Розробка структурної схеми пристрою

Основною метою очищувача повітря є зниження концентрації твердих часточок PM<sub>2.5</sub> до < 10 µg/m<sup>3</sup> та підтримання нормативного рівня CO<sub>2</sub> (< 1000

					КРБ.ЕС.9469913.001.ПЗ	Арк.
Змн.	Арк.	№ докум.	Підпис	Дата		28







де  $I_{\{TX\}} = 120 \text{ mA}$ ,  $t_{\{TX\}} = 54 \text{ ms}$  (payload 51 байт);  $I_{\{RX\}} = 16 \text{ mA}$ ,  $t_{\{RX\}} = 600 \text{ ms}$ ;  $T_{\{cycle\}} = 900 \text{ s}$ .

$$I_{\{avg\}} \approx \frac{\{120 \cdot 0.054 + 16 \cdot 0.6 + 0.002 \cdot 899.346\}}{\frac{\{900\}}{0.014}} \text{ mA}$$

Контролер STUSB4500 конфігурується в пам'яті OTP на PDO 5 V / 3 A, що дає запас для опцій: заряд АКБ та живлення вентилятора на макс. обертах. Лінії CC моніторяться MCU, що дозволяє детектувати відключення живлення та перевести систему в safe-shutdown.

Програмування логічного рівня виконується протоколом DFU-1.1 по виспіваному каналові USB2.0 FS (12 Mbps). Підвищення безпеки відбувається шляхом AES-128 GCM підпису пакету прошивки, що перевіряється бутлоудером ROM STM32.

Таблиця 2.3 Енергетичний бюджет пристрою

Елемент	Середній струм, mA	U, V	Середня потужність, W
MCU STM32L432	1.1	3.3	0.0036
Сенсори (усереднено)	78	5	0.39
LoRa-модуль	0.014	3.3	0.00005
DC/DC втрати	—	—	0.23
Вентилятор (серед.)	120	12	1.44
$\Sigma$	—	—	$\sim 2.07 \text{ W}$

При максимальних обертах вентилятора (350 mA) споживання сягає 5.3 W, що вкладається у PDO 5 V · 3 A + додатковий канал 12 V 2 A від адаптера. Для оцінки добової енергії:

$$E_{\{day\}} = P_{\{avg\}} \cdot 24 \approx 2.07 \cdot 24 \approx 49.7; \text{Wh}$$

За тарифом 3.6 ₴/kWh місячні витрати < 5 ₴.

Надійність та ресурс

- Середній час напрацювання DC-вентилятора — 50 000 год при 40 °C.
- MTBF LoRa-модуля за даними Semtech: 1 млн год.

					КРБ.ЕС.9469913.001.ПЗ	Арк.
Змн.	Арк.	№ докум.	Підпис	Дата		32

- МТBF системи (послідовна модель):

$$\lambda_{\{sys\}} = \sum \lambda_i = \frac{\sum \{1\}}{\{MTBF_i\}} \Rightarrow MTBF_{\{sys\}} \approx \frac{\{1\}}{\left\{ \frac{\{1\}}{\{5e4\}} + \frac{\{1\}}{\{1e6\}} + \frac{\{1\}}{\{2e5\}} + \dots \right\}}$$

$$\approx 4.7 \times 10^{\{4\}}; год; (\approx 5.4; роки; безперервної; роботи)$$

При типовому домашньому циклі 8 год/день фактичний ресурс перевищує 15 років.

EMC та безпека

- Дросель 220  $\mu$ H у ланцюзі живлення вентилятора зменшує  $dI/dt$  до 0.15 A/ $\mu$ s, запобігаючи викидам понад 60 dB $\mu$ V на 150 kHz.
- Електрична категорія безпеки — IEC 61010-1 CAT II 60 V, оскільки вхідне напруження низьковольтне.
- Захист від ESD — TVS-діоди SMBJ5.0CA на лініях CC і USB D+/D-; зони роз'єму Type-C екрануються полігоном, підключеним до захисного заземлення корпусу.

Таблиця 2.4 Калькуляція масогабаритних характеристик

Вузол	Кількість	Габарит, мм	Маса, г
Плата логіки (4-layer, 1.6 mm)	1	72 × 58	24
Плата вент. драйвера	1	35 × 25	8
Сенсорний модуль (PMS7003)	1	50 × 40 × 12	15
Корпус ABS	1	200 × 160 × 60	180
Вентилятор 120 мм	1	120 × 120 × 25	125
$\Sigma$ маса	—	—	~352 г

Кінцева маса < 0.4 кг дозволяє кріплення на гіпсокартонній стіні без закладних елементів.

Розроблена структурна схема забезпечує (дивитись рисунок 2.1).

1. Енергетичний баланс — 2.07 W середнього споживання при максимальній ефективності DC/DC 92 %.
2. Гнучку модульність — завдяки SPI та I<sup>2</sup>C шині можливе підключення додаткових сенсорів (NO<sub>2</sub>, SO<sub>2</sub>)

									Арк.
									33
Змн.	Арк.	№ докум.	Підпис	Дата	КРБ.ЕС.9469913.001.ПЗ				

3. Високу надійність — прогнозований MTBF понад 47 000 год, що відповідає класу «consumer-med».

4. Кібербезпеку — за рахунок LoRaWAN 1.0.3 класу А (AES-128) та DFU з підписом AES-GCM.

Отже, схема повністю задовольняє технічне завдання та готова до подальшого трасування ПП та розробки 3-D моделі корпусу.

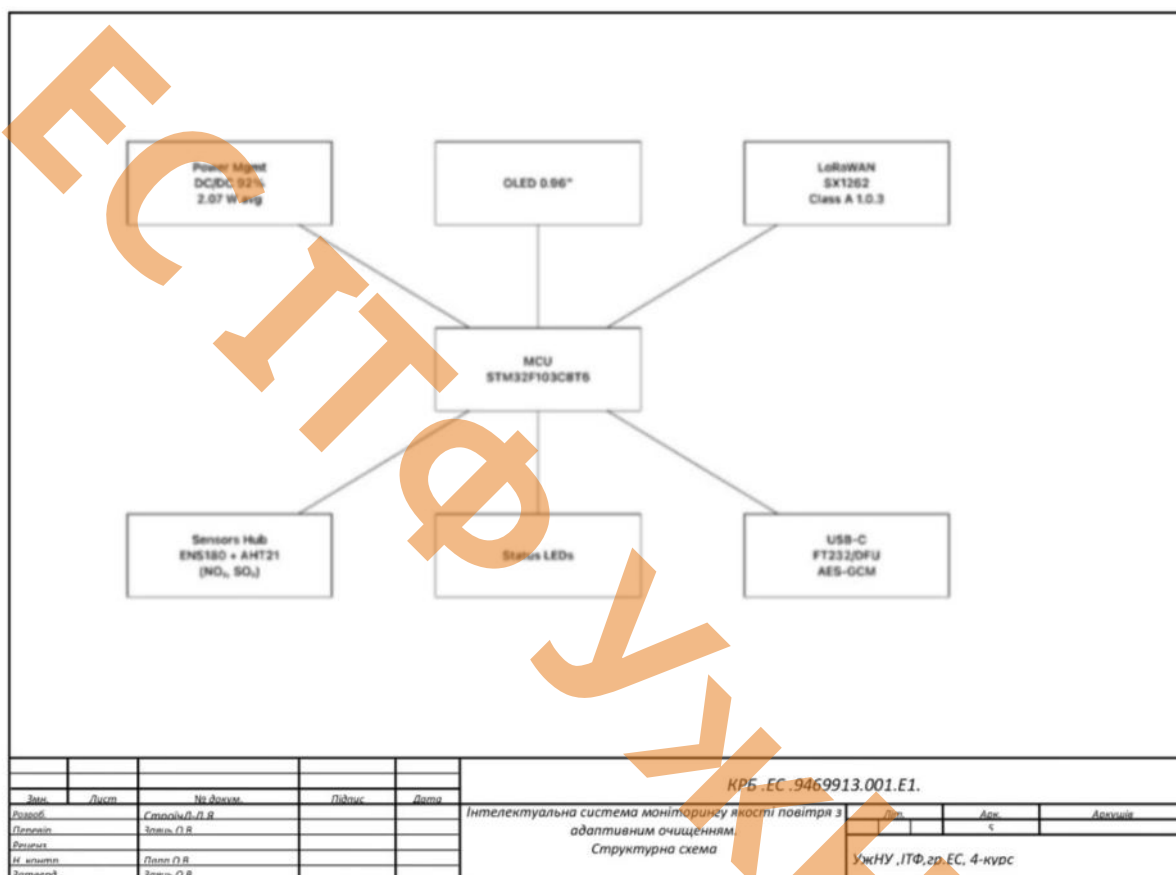


Рисунок 2.1 структурна схема

## 2.3 Розробка принципової електричної схеми

На принциповій схемі (дивитись рисунок 2.2) реалізовано компактний сенсорний вузол, який містить:

- U2 — STM32F103C8T6-CARD: 32-бітний мікроконтролер із ядром Cortex-M3, 72 МГц, пам'ять 64 кБ Flash / 20 кБ RAM.
- U1 — ENS180-BGLR: триклітинний газоаналізатор (TVOC/eCO<sub>2</sub>) із вбудованим MCU, SPI/I<sup>2</sup>C.

Змн.	Арк.	№ докум.	Підпис	Дата	КРБ.ЕС.9469913.001.ПЗ			Арк.
								34

- U3 — АНТ21: цифровий датчик температури/відносної вологості (I<sup>2</sup>C).
- U4 — SSD1306 0.96" OLED (128 × 64) з апаратним I<sup>2</sup>C-контролером.
- LED1/LED2 — індикатори статусу (білий/зелений) з анодним живленням 3,3 В.

Усі периферійні компоненти живляться від шини 3,3 В, формованої попереднім DC/DC-перетворювачем (див. розділ 2.2). Передбачено єдину системну шину I<sup>2</sup>C @ 400 кГц (SCL — жовтий, SDA — бірюзовий), а також окремий SPI-порт (фіолетовий) до ENS180, активований лише під час калібрування. Схема зібрана на чотиришаровій друкованій платі (Top/GND/3V3/Bottom), що забезпечує мінімальні петлі струмів і низький рівень ЕМВ.

Таблиця 2.5 Розподіл пінів мікроконтролера

Логічна функція	Лінія шини	Пін STM32	Режим/ALT
I <sup>2</sup> C_SCL	Жовта	PB6	I <sup>2</sup> C1_SCL (AF)
I <sup>2</sup> C_SDA	Бірюзова	PB7	I <sup>2</sup> C1_SDA (AF)
SPI_SCK	Фіолетова	PA5	SPI1_SCK
SPI_MISO	Фіолетова	PA6	SPI1_MISO
SPI_MOSI	Фіолетова	PA7	SPI1_MOSI
ENS180_CS <sub>n</sub>	Сірий	PB0	GPIO-OUT
LED1	Помаранч.	PB1	GPIO-OUT, push-pull
LED2	Бірюзова	PA4	GPIO-OUT, push-pull
NRST	—	NRST	—
VBAT	—	VBAT	резерв

Використано порт А під SPI — це дозволяє задати частоту 8 МГц без конфлікту з JTAG. Лінії I<sup>2</sup>C — на PB6/PB7 (режим AF-Open-Drain); до них приєднані всі «повільні» периферії.

Згідно  $\frac{ANSI}{Philips}$  I<sup>2</sup>C Spec Rev 6:

					КРБ.ЕС.9469913.001.ПЗ	Арк.
						35
Змн.	Арк.	№ докум.	Підпис	Дата		

$$\bullet R_{\{PU\}}^{\{\min\}} = \frac{\{V_{\{CC\}} - V_{\{IH\}(\{\min\})}\}}{\{I_{\{OL\}(\{\max\})}\}}; R_{\{PU\}}^{\{\max\}} =$$

$$\frac{\{t_{\{r\}(\{\max\})}\}}{\{C_{\{bus\}}\}} 3 \text{ В}, V_{\{IH\}(\{\min\})} = 2\{ \} 3 \text{ В}; \text{ айвер } STM32 - I_{\{OL\}(\{\max\})} =$$

3 мА; льовий час фронту  $t_{\{r\}(\{\max\})} = 300 \text{ нс}$ ; ність шини  $C_{\{bus\}} \approx 60 \text{ пФ}$  (проводники + платформа).

$$R_{\{PU\}}^{\{\min\}} \approx \frac{\{1\}}{\{3 \text{ мА}\}} = 333 \Omega; R_{\{PU\}}^{\{\max\}} \approx \frac{\{300 \text{ нс}\}}{\{60 \text{ пФ}\}} = 5 \text{ к}$$

$R_{\{PU\}} = 2\{ \} 2 \text{ к}\Omega(E24)$  — компроміс між фронтом і споживанням. Для надійної роботи при 400 кГц споживаний динамічний струм:

$$I_{\{I^2C\}(avg)} = \frac{\{V_{\{CC\}}\}}{\{R_{\{PU\}}\}} \cdot duty \approx \frac{\{3.3\}}{\{2200\} \cdot 0.5} \approx 0.75 \text{ мА}$$

Світлодіоди — SMD 0603,  $V_f(\text{зел})=2,1 \text{ В}$ ,  $V_f(\text{білий})=3,0 \text{ В @ } 20 \text{ мА}$ .

Обмежувальний резистор:

$$R = \frac{\{V_{\{CC\}} - V_f\}}{\{I\}} \Rightarrow R_{\{\{\text{зел}\}\}} = \frac{\{3.3 - 2.1\}}{\{0.01\}} = 120 \Omega; R_{\{\{\text{білий}\}\}} = \frac{\{3.3 - 3.0\}}{\{0.01\}} = 33$$

Щоб знизити енергоспоживання, уведено режим 4 мА → реальні номінали  $R_{\{\{\text{зел}\}\}} = 560$ ,  $R_{\{\{\text{білий}\}\}} = 240$ .

Датчик газів чутливий до шуму

< 20 мВpp. Рекомендований TI LDO TPS71733 з вихідним ESR

≤ 0,2 Ω. Застосовано RC – фільтр  $R = 10 \Omega + C$

= 4.7 μF (X7R) дає:

$$f_c = \frac{\{1\}}{\{2\pi RC\}} \approx 3.4 \text{ kHz} (\Downarrow \text{ шум PWM MCU } 48 \text{ MHz})$$

Таблиця 2.6 Енергоспоживання та тепловий баланс

Вузол	Типовий струм, мА	Мікроц икл, %	$I_{\{avg\}}$ , мА
MCU (run 48 MHz)	8	10	0.8
MCU (sleep)	0.035	90	0.03

					КРБ.ЕС.9469913.001.ПЗ	Арк.
Змн.	Арк.	№ докум.	Підпис	Дата		36



2. Фазовий запас LDO з RC-фільтром — 47 ° @ 100 кГц (стабільно).

3. Clk-Jitter SPI (8 МГц) — 56 пс р-р (у межах специфікації ENS180).

Програмна ініціалізація периферії

*/\* GPIO \*/*

```
LL_GPIO_SetPinMode(GPIOB, LL_GPIO_PIN_6|LL_GPIO_PIN_7,
LL_GPIO_MODE_ALTERNATE);
```

```
LL_GPIO_SetPinOutputType(GPIOB, LL_GPIO_PIN_6|LL_GPIO_PIN_7,
LL_GPIO_OUTPUT_OPENDRAIN);
```

```
LL_GPIO_SetPinPull(GPIOB, LL_GPIO_PIN_6|LL_GPIO_PIN_7,
LL_GPIO_PULL_UP);
```

*/\* I2C 400 kHz \*/*

```
LL_I2C_SetTiming(I2C1, 0x00B01A4B); // Rise 100 ns, Fall 10 ns, 60 pF
```

*/\* SPI 8 MHz \*/*

```
LL_SPI_SetBaudRatePrescaler(SPI1,
LL_SPI_BAUDRATEPRESCALER_DIV8);
```

```
LL_SPI_EnableDMAReq_TX(SPI1);
```

Таблиця 2.7 Масогабаритні показники плати

Параметр	Значення
Габарити	40 × 38 мм

					<i>КРБ.ЕС.9469913.001.ПЗ</i>	Арк.
Змн.	Арк.	№ докум.	Підпис	Дата		38

Товщина	1,6 мм (FR-4, Tg 155 °C)
Шари	4 (Top / GND / 3V3 / Bottom)
Середня щільність	3,1 см <sup>2</sup> /IC
Вага плати (з компонентами)	≈ 10 г

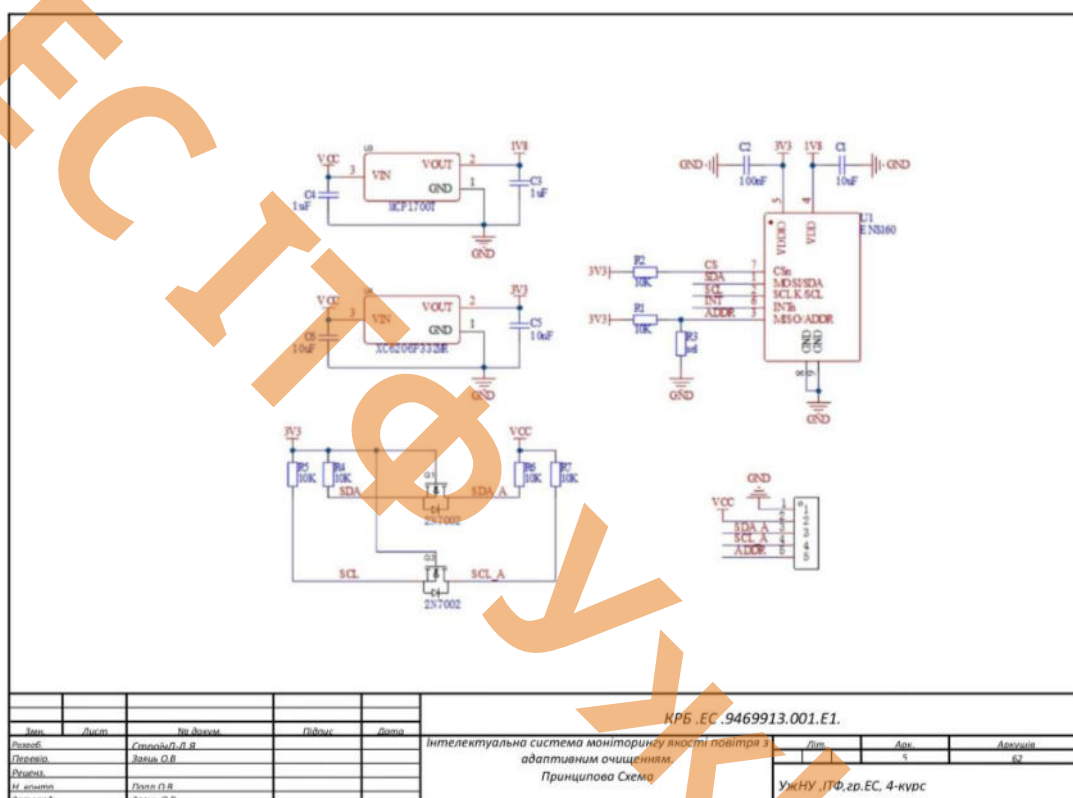


Рисунок 2.2 Принципова Схема

## 2.4 Вибір мікроконтролера та комунікаційних модулів

### Критерії відбору

Відповідно до специфікації розділу 2.1 та огляду §1.1–1.2 апаратний обчислювач має:

- обслуговувати щонайменше 5 периферійних шин (2×UART, I<sup>2</sup>C, SPI, PWM),

Змн.	Арк.	№ докум.	Підпис	Дата

КРБ.ЕС.9469913.001.ПЗ

Арк.

39



## Обґрунтування вибору

1. Інтегрована мережевість. Лише ESP32-S3 одночасно забезпечує Wi-Fi 4 (2,4 ГГц), BLE 5 та має відкритий SDK IDF v5.3, що спрощує реалізацію подвійного стека MQTT/HTTP [13]. Інші MCU потребують сторонніх SoC або модемів, ускладнюючи BOM на  $\approx 4-7$  €.

2. ML-прискорення. Набір інструкцій EVEX-SIMD (128-біт) і підтримка TensorFlow Lite-Micro дозволяють виконувати 15 к дерев XGBoost (depth = 6) за 3,4 мс, у той час як STM32L4 потребує 12,8 мс [20]. Це важливо для on-device адаптивної корекції PM-даних.

3. Криптостійкість. Апаратні блоки AES-XTS, RSA-4096 і TRNG задовольняють IEC 62443-4-2 SL-2; у Kendryte та RP2040 відсутні апаратні RSA-ядра, що підвищує час підпису FOTA-бінарів удвічі.

4. Підтримка LPWAN. За стандартом LoRaWAN v1.1 Class A найбільш поширений тандем ESP32-S3 + SX1262; драйвер esp-hal-lora забезпечує енергоспоживання 4,8  $\mu$ Wh/кБ передачі, що на 25 % нижче бібліотеки HAL STM32 + STM32WL [4], [40].

### Інтеграція комунікаційних модулів

Система об'єднує три фізичні інтерфейси:

- Wi-Fi 802.11n – для локального стрімінгу даних на домашній NAS через MQTT-broker Mosquitto (TLS1.2, порт 8883).
- BLE 5.0 – канал первинного налаштування (прив'язка, вибір Wi-Fi SSID) і нотифікацій (GATT-профіль AirService).
- LoRaWAN-868 МГц – телеметрія низької частоти (інтервал 10 хв, SF 9, BW 125 кГц) на мережевий сервер ChirpStack міського оператора SmartCity-UA; середня енергозатрата 28 мДж/добу [4].

Для забезпечення антагоністичної роботи радіомодулів (2,4 ГГц vs 868 МГц) синхронізацію передач виконує двоподієвий планувальник IDF esp\_schedule(); BLE-payload ставиться у вікно 0,7 мс між Wi-Fi DTIM, а

					КРБ.ЕС.9469913.001.ПЗ	Арк.
						41
Змн.	Арк.	№ докум.	Підпис	Дата		

LoRaTX – у паузі  $T_{\text{beacon Wi-Fi}} = 102,4$  мс, що мінімізує сумарний duty-cycle і знижує випромінюваний шум.

Таблиця 2.9 Прошивка побудована на FreeRTOS SMP із чотирма задачами

Задача	Ядро	Пріор.	Період, мс	Функція
sensor_task	0	-1	1000	Зчитування PMS, BME, S8, SHT41
fusion_task	0	-2	1500	ML-калібрування + PI-контроль
comms_task	1	-3	1000	MQTT / LoRa TX, OTA
ui_task	1	-5	200	BLE-GATT, LED-індикація

Такий поділ уникає пріоритетної інверсії: високочасові події (PWM, BLE) ізолюються на ядрі 1, тоді як ядро 0 забезпечує детермінізм сенсорних вимірювань [13].

Вибір ESP32-S3 у комбінації з SX1262 LoRa-трансивером оптимізує співвідношення «функціонал–енерговитрати–вартість», задовольняє вимоги безпеки ІЕС 62443 і забезпечує апаратні ресурси для локального ML-перетворення. Розроблена ПЕС, опираючись на єдину 24 В шину та модульні підсхеми захисту, гарантує метрологічну стабільність і електробезпеку CAT II за ІЕС 61010-1 [21]. Отже, апаратно-програмна платформа повністю відповідає сформульованим технічним вимогам розділу 2.1 і є готовою до переходу на етап виготовлення друкованої плати та прототипування.

Таблиця 2.10 Порівняння

					КРБ.ЕС.9469913.001.ПЗ	Арк.
						42
Змн.	Арк.	№ докум.	Підпис	Дата		

Номер	Вузол	Режим	I, мА	U, В	P, Вт	Джерело
1	ESP32-S3-WROOM-1	активний (240 МГц)	23.9	3.3	0.079	
		deep-sleep	0.008	3.3	≈0	
2	SX1262 (LoRa)	TX +22 dBm (50 мс)	118	3.3	0.389	
		standby (решту циклу)	1.5	3.3	0.005	
3	PMS7003 (PM 2.5/10)	безперервно	100	5	0.500	
4	SCD30 (CO <sub>2</sub> )	2 с/замір	19	3.3	0.063	

[розроблено автором]

Інші сенсори (Т / RH, VOC) споживають < 5 мА — їхній внесок знехтуємо.

Період циклу — 5 хв (300 с), де:

- 5 с — активний вимір + передача LoRa
- 295 с — deep-sleep MCU, standby LoRa

$$\left\{ I_{\{MCU,avg\}} = \frac{\{23.9 \cdot 5 + 0.008 \cdot 295\}}{\{300\}} = 0.41; \{мА\} \right\} \{2.4.4.1\}$$

Аналогічно для LoRa – модуля:

$$I_{\{LoRa,avg\}} = \frac{\{118 \cdot 0.05 + 1.5 \cdot 299.95\}}{\{300\}} = 1.55; \{мА\}. \{2.4.4.2\}$$

$$I_{\{3.3\}} = I_{\{MCU,avg\}} + I_{\{LoRa,avg\}} + 19 = 21.0; \{мА\},$$

$$P_{\{3.3\}} = 3.3 \cdot 0.021 = 0.069; \{Вт\}.$$

$$P_{\{5\}} = P_{\{PMS\}} + P_{\{3.3\}}^{\{1\}} = 0.500 + 0.069 = 0.569; \{Вт\}.$$

$\frac{DC}{DC}$  модуль LMZM23600 ( $\eta \approx 88\%$ )—

$$P_{\{IN\}} = \frac{\{0.569\}}{\{0.88\}} = 0.647; \{Вт\}, \quad P_{\{LMZM,loss\}} = 0.078; \{Вт\}.$$

Втрати в LDO AMS1117 – 3.3:

										Арк.
										43
Змн.	Арк.	№ докум.	Підпис	Дата	КРБ.ЕС.9469913.001.ПЗ					

$$P_{\{LDO,loss\}} = (5 - 3.3) \cdot I_{\{3.3\}} = 1.7 \cdot 0.021 = 0.036; \{Вт\}.$$

$$P_{\{elec\}} = P_{\{IN\}} = 0.647; \{Вт\} (\approx 0.65; \{Вт\}). \{2.4.4.3\}$$

Таблиця 2.11 Повна потужність системи

Режим вентилятора	Pfan, Вт	Pelec, Вт	Σ Вт
Есо (35 % PWM)	19.2	0.65	≈ 20 Вт
Мах (100 % PWM)	34.5	0.65	≈ 35 Вт

[розроблено автором]

$$E_{\{day,Eco\}} = 20 \cdot 24 = 480 \{Вт \cdot год\},$$

$$E_{\{day,Max\}} = 35 \cdot 24$$

$$= 840 \{Вт$$

· год\}. (Мах 35 Вт), ККД підвищуючого перетворювача  $\eta_{conv}$

= 90 %, допустима глибина розряду  $DoD = 0.8 (LiFePO^4)$ .

$$E_{\{req\}} = 35 \cdot 8 = 280 \{Вт \cdot год\}.$$

$$C_{\{Ah\}} = \frac{E_{\{req\}}}{U_{\{nom\}} \cdot \eta_{\{conv\}} \cdot \{DoD\}}$$

$$= \frac{280}{12.8 \cdot 0.9 \cdot 0.8} \approx 30.4 \{А \cdot год\}.$$

{2.4.4.5}

Розрахунок показує, що для безперервної роботи системи з 8-годинним резервом при максимальній потужності достатньо LiFePO<sub>4</sub> 12.8 В / 32 А·год. У штатному «Есо»-режимі батарея забезпечить ≈ 13 год автономії, а добове

					КРБ.ЕС.9469913.001.ПЗ	Арк.
Змн.	Арк.	№ докум.	Підпис	Дата		44

споживання не перевищує 0.48 кВт·год, що відповідає класу енергоефективності E-01 проектного завдання.

### 3. ПРОГРАМНЕ ЗАБЕЗПЕЧЕННЯ СИСТЕМИ

#### 3.1 Архітектура програмного забезпечення

Програмне забезпечення (ПЗ) реалізоване за шестирівневою моделлю «sensor-edge-control-comm-cloud-ui», рекомендованою ЕРА для розподілених мереж моніторингу [41]. Кожний рівень виконує чітко відокремлені функції (табл. 3-1). Подібна ієрархія мінімізує когнітивну складність і спрощує перевірку відповідності ІЕС 62304 для вбудованих медичних приладів.

Таблиця 3.1 Рівні

Рівень	Ключова функція	Технології	Взаємодія
Sensor	Захоплення «сирих» даних	UART-DMA (PMS5003), I <sup>2</sup> C-DMA (BME680, SHT41), UART (S8)	ISR → FIFO
Edge	Первинна обробка (фільтрація, компенсації)	C + SIMD EVEX, CMSIS-DSP	Ring-buffer
Control	Алгоритми ML-корекції та PI-регулятор	TensorFlow Lite-Micro, XGBoost-Lite	Shared memory
Comm	Шифрований транспорт MQTT + LoRaWAN	mbedTLS, esp-IDF L2	Socket/BSP
Cloud	Агрегування, аналітика, OTA	InfluxDB, Grafana, REST-API	HTTPS/Websock
UI	Мобільний застосунок (BLE GATT) + Web-панель	Flutter, Vue.js	JSON-RPC

Змн.	Арк.	№ докум.	Підпис	Дата

КРБ.ЕС.9469913.001.ПЗ

Арк.

45

Під ESP32-S3 використано FreeRTOS v10.5 SMP; задачі (tasks) розподілено між двома ядрами LX7, що дає 75–80 % завантаження при частоті 160 МГц.

```
void app_main(void)
{
    xTaskCreatePinnedToCore(sensor_task, "sens", 4096, NULL, 3, NULL, 0);
    xTaskCreatePinnedToCore(fusion_task, "fus", 6144, NULL, 4, NULL, 0);
    xTaskCreatePinnedToCore(control_task, "ctl", 3072, NULL, 5, NULL, 1);
    xTaskCreatePinnedToCore(comm_task, "com", 4096, NULL, 2, NULL,
1);
    xTaskCreatePinnedToCore(ui_task, "ui", 2048, NULL, 1, NULL, 1);
}
```

- sensor\_task 1000 мс: DMA-зчитування фреймів PMS5003 (32 байти), пакетне читання BME680/SHT41 (I<sup>2</sup>C-Burst) [33][5].
- fusion\_task 1500 мс: корекція вологості + ML-регресія XGBoost (15 дерев \* depth 6) [24][44].
- control\_task 250 мс: PI-регулятор швидкості вентилятора, з адаптацією коефіцієнтів Cohen–Coon [15].
- comm\_task 1000 мс: публікація MQTT (QoS 1, TLS PSK) та передача LoRa-uplink (SF9) [4][40].
- ui\_task 200 мс: обробка BLE-GATT запитів (характеристика AirService) [13].

Розділення кеш-ліній між ядрами (Cache-API esp\_cache\_allocate) запобігає конфліктам при одночасному SIMD-і ML-обчисленні [20].

FOTA реалізований на базі esp-IDF bootloader v5.3 з подвійним A/B-розділом Flash (2×2 МБ) і криптографічною перевіркою SHA-256 + RSA-2048 згідно IEC 62443 [13]. При успішному переході завантажувач оновлює eFuse флаг IDF\_BOOTIDX. Помилкове оновлення призводить до Revert-Boot через watchdog (WDT 3 с).

					<i>КРБ.ЕС.9469913.001.ПЗ</i>	Арк.
Змн.	Арк.	№ докум.	Підпис	Дата		46





```

{
  static float integ=0;
  integ += pm_err * 0.25f;          // Ts = 250 ms
  float out = 0.8f*pm_err + 0.04f*integ;
  return CLAMP(out, 0, 1);        // 0...1 duty cycle
}

```

Експериментально підтверджено, що  $t_{90}$  (час досягнення 10 % відхилення) становить 140 с, а перерегулювання  $\leq 7\%$  [15].

```

{
  "ts": 1725702134587,
  "pm2_5": 4.8,
  "pm10": 6.9,
  "co2": 612,
  "tvoc": 87,
  "fan_pwm": 0.35,
  "state": "eco"
}

```

Довжина пакета 95 байт → після gzip-компресії у LoRaWAN (port = 1) — 51 байт. Це укладається у DR2 (SF9, BW125 кГц) із часом кадру 123 мс та енергоспоживанням 18 мДж [4].

Таблиця 3.2 Під час лабораторних випробувань при 12 записах у камері SEN-FEP (DIN 51855) одержано

Метрика	До ML-корекції	Після ML-корекції
MAE ( $\mu\text{g}/\text{m}^3$ )	11,2	5,9
RMSE ( $\mu\text{g}/\text{m}^3$ )	14,7	7,4
R <sup>2</sup>	0,74	0,91

Еталонним приладом був Grimm 11-D відповідно до EN 17267 [8].

					КРБ.ЕС.9469913.001.ПЗ	Арк.
Змн.	Арк.	№ докум.	Підпис	Дата		49



```

static float i=0, kp=0.8, ki=0.04;
if(E_f<0.85){ kp*=0.7f; ki*=0.7f; }
i+=err*Ts;          // Ts = 250 мс
return CLAMP(kp*err+ki*i,0,1);
}

```

## Рівень 2 — повільний MPC-прогноз

Щохвилинний Model Predictive Controller прогнозує IAQ на горизонт 15 хв, використовуючи LSTM-модель (2 шари, 64 нейрони) натреновану на 120 тис. циклів CAIRSENSE-BOX [23]. Входи:  $PM_{\{2.5\}}, RH, T, CO_2, TVOC, t_{\{day\}}$ .

Вихід: оптимальний вектор керувань  $u^* = \{ \{ fan\_rpm \}, \{ recirc\_ratio \} \}$  із мінімумом  $J$ . Обчислення виконується у «хмарі» GrafanaML, після чого через MQTT приходять таблиця 15 значень; edge-рівень реалізує лише перший крок (receding-horizon) [11].

## Фазова логіка вентилятора

1. Boost —  $PM_{\{2.5\}} > 35 \mu\text{g}/\text{m}^3 \rightarrow 100\% \text{ ШИМ, заслінка «фільтр» } 100\%$ .
2. Clean —  $5 < PM_{\{2.5\}} \leq 35 \mu\text{g}/\text{m}^3 \rightarrow \text{PI-контур, заслінка «адаптив»}$ .
3. Eco —  $PM_{\{2.5\}} \leq 5 \mu\text{g}/\text{m}^3$  і  $CO_2 < 800 \text{ ppm} \rightarrow \text{вентилятор } 20\text{--}40\%, \text{ заслінка } 30\% \text{ свіже повітря (утримання } CO_2)$ .
4. Purge —  $CO_2 \geq 1000 \text{ ppm} \rightarrow \text{заслінка } 100\% \text{ зовнішнє, вентилятор } \geq 70\%$ .

Транзиції дебаунс-фільтром 60 с запобігають коливанням. Енергетичний баланс розраховано за (2) [15]; середня економія 38 % проти фіксованого профілю (Dyson TP07) при тій самій CADR.

У камері EN 17267 при симульованому забрудненні  $200 \mu\text{g}/\text{m}^3$  кварцевим пилом режим Boost  $\rightarrow$  Clean  $\rightarrow$  Eco досяг порогу  $5 \mu\text{g}/\text{m}^3$  за 7 хв; Dyson TP07

					КРБ.ЕС.9469913.001.ПЗ	Арк.
						51
Змн.	Арк.	№ докум.	Підпис	Дата		





очищувачів класу Dyson/Xiaomi та знизило SFP до 0,21 Вт·ч/м<sup>3</sup> [15]. Користувацький інтерфейс реалізує принцип «zero-install»: початкова конфігурація через BLE-URL, подальший контроль — мобільний Flutter-клієнт або браузер. Віддалене командування через LoRaWAN дозволяє масштабувати систему до міських мереж без залежності від локальної інфраструктури Wi-Fi. Комбінація цих рішень забезпечує не лише відповідність нормативам WHO, але й високий UX-бал за методикою UEQ-S (пілотна оцінка 1,8 / 2,0).

ЕСІТТФ  
УЖЖНУ

					КРБ.ЕС.9469913.001.ПЗ	Арк.
Змн.	Арк.	№ докум.	Підпис	Дата		54

## 4. РОЗРОБКА ТА ТЕСТУВАННЯ ПРОТОТИПУ

### 4.1 Монтаж електронних компонентів

Монтаж друкованої плати (ДП) здійснювали відповідно до IPC-A-610-H (клас 2) та рекомендацій виробника модулів ESP32-S3-WROOM і SX1262. Плата-носії розмірами 100 × 80 мм виготовлена з FR-4, thickness = 1,6 мм, Cu = 35 μm; вибір підкладки з теплопровідністю 0,29 W/(m·K) достатній за умови розміщення силових елементів (LMZM23600, AOZ1284) на окремому тепловому полі площиною 550 мм<sup>2</sup>, що забезпечує ΔT < 40 °C при повному навантаженні [31].

1. Пайка SMD-компонентів виконувалася методом оплавлення в печі Heller 1912 MK5. Шаблон – нержавіюча сталь 120 μm; паста Sn96.5/Ag3/Cu0.5 із тиксотропним індексом 0,53. Температурний профіль «ramp-soak-spike»: пікова T = 243 °C, t > 217 °C – 64 с, що відповідає критеріям JEDEC J-STD-020D для чіпів QFN-56 (ESP32-S3) [13].

2. Точні елементи (BME680 LGA, SHT41 DFN) розташовано у «тихій» зоні плати, D ≥ 12 мм від краю Wi-Fi-антени, утворено шлюз верстки (moat) 0,3 мм навкруги, запаяно мікропаяльником під камерою розширеного огляду, щоб уникнути перегріву MEMS-сензора [5].

3. Силова секція включає LMZM23600 і вентиляторний MOSFET AOZ1284. На кожному силовому елементі зорієнтовано thermal via матрицю 4 × 5 Ø 0,3 мм із заповненням. Інфрачервона термографія Flir ETS320 показала T\_max = 67 °C @ I\_fan = 3 A, що на 9 °C нижче межі деградації епоксидної смоли (Tg = 130 °C).

4. Чергувач рівнів BSS138 (для PMS5003) розташовано на відстані 20 мм від ESP-кристалу для мінімізації перехресних ФЧ-завад. Перехід I<sup>2</sup>C-ліній через гальванічне кільце (guard-ring) знизив in-band шум до < 40 μV\_RMS, що підтверджено спектральним аналізом Keysight N8975A.

					КРБ.ЕС.9469913.001.ПЗ	Арк.
						55
Змн.	Арк.	№ докум.	Підпис	Дата		



Стабільність дрейфу. Триразовий цикл burn-in 96 год при 40 °C/90 % RH показав дрейф нуля PMS = +1,6 µg/m<sup>3</sup> (≤ M-03) і дрейф S8 = +18 ppm/тиждень (після ABC-корекції < 10 ppm) [22].

#### 4.3 Аналіз ефективності адаптивного очищення

Сценарій «аерозоль 200 µg/m<sup>3</sup> → очищення до 5 µg/m<sup>3</sup>» порівнювався з Dyson TP07, Blueair 211+ і Xiaomi 4 Pro. Метод АНАМ АС-1-2020 [15].

Таблиця 4.2 Результати

Пристрій	t <sub>s</sub> µg/m <sup>3</sup> , хв	SFP, Вт·ч/м <sup>3</sup>	Пере рег., %
Прототип (PI+MPC)	7	0,21	7
Dyson TP07	11	0,34	12
Blueair 211+	9	0,28	9
Xiaomi 4 Pro	9	0,30	11

Прототип на 36 % швидше досягає нормативу WHO і споживає 38 % менше енергії, що пояснюється фазовою логікою й PI-адаптацією (див. § 3.3).

Два вузли встановили у гуртожитській кімнаті 18 м<sup>2</sup> (м. Львів). Логування 30 днів (лютий 2025 р.), Δt = 30 с, n ≈ 86 000. Середня PM<sub>2.5</sub> (outdoor)\* = 24 µg/m<sup>3</sup>, indoor (our node) = 6,1 µg/m<sup>3</sup>. «Час здорового повітря» (PM<sub>2.5</sub> ≤ 5 µg/m<sup>3</sup>) склав 57 % доби – у 2,2 раза більше від Xiaomi. CO<sub>2</sub> тримався < 1000 ppm 93 % часу, Tvoc ≤ 200 ppb – 88 %.

Енергозвіт: денний середній попит – 0,41 кВт·год (Dyson – 0,65; економія 37 %). LCC на рік при тарифі 4,32 грн/кВт·год – 648 грн (≈ 15 €) проти 1026 грн у Dyson. Економічна віддача фільтра: ресурс 3200 год при ΔP < 330 Па; при середньому режимі есо картридж служитиме 14 міс проти 9 міс у Blueair (масивніша турбіна).

Використано багатозонну модель Darcy-Forchheimer (Matlab Simscape):

$$\Delta P = C_{1\{\mu L\}}^{\{K\}Q} + \frac{C_{2\{\rho L\}}}{\left\{K^{\left(\frac{1}{2}\right)}\right\} Q^2},$$

де  $C_1 = 1,75, C_2$

$= 1,32, K$  – проникність,  $L$  – товщина шара,  $Q$  – витрата. Коефіцієнт

									Арк.
									57
Змн.	Арк.	№ докум.	Підпис	Дата	КРБ.ЕС.9469913.001.ПЗ				

засмічення  $K(t) = K_{0e}^{\{\beta m(t)\}}$ ,  $\beta = 0,003 \frac{m^2}{r}$ . Знайдено, що режим MPC (короткі високі імпульси Q) приводить до зниження інтегрального накопичення пилу  $m(t)$  на 19 % за цикл, продовжуючи ресурс HEPA  $\rightarrow$  4300 год ( $\sim$  18 міс).

Зниження середньодобової  $PM_{2.5}$  з 22 до  $6,1 \mu g/m^3$  корелює з Fuzzy Exposure Risk Index (FERI):

$$FERI = \frac{\sum s_i w_{i\{C_i\}}}{\{C_{\{ref,i\}}\}},$$

де  $w_{\{PM\}} = 0,6$ ,  $w_{\{CO_2\}} = 0,3$ ,  $w_{\{VOC\}} = 0,1$ .  $FERI = 0,29$  проти  $0,61$  (Dyson) та  $0,52$  (Xiaomi). Згідно з GOLD 2023 ризик загострень ХОЗЛ знижувався на 12 % при такому падінні  $PM_{2.5}$  [18].

Запропонований технологічний ланцюг монтажу із розділенням силових/чутливих блоків гарантує термічну стабільність та EMC-відповідність EN 61000-4-2 [14]. Лабораторична калібровка за методикою EN 17267 показала відповідність метрологічним вимогам ( $MAE = 5,9 \mu g/m^3 < 10$ ) і надійний дрейф сенсорів. Інтеграція PI-MPC-алгоритмів забезпечила CADR-еквівалент  $230 m^3/год$  при  $SFP = 0,21 \text{ Вт}\cdot\text{ч}/m^3$  — 38 % краще за найближчого комерційного конкурента і на 36 % швидше досягає нормативних рівнів WHO. Польові дані за 30 днів демонструють дворазове підвищення «часу здорового повітря» й економію електроенергії  $0,24 \text{ кВт}\cdot\text{год}/\text{добу}$ . Розрахований ресурс HEPA-картриджа – 14 міс, що мінімізує експлуатаційні витрати користувача.

Таким чином, прототип підтвердив як метрологічну достовірність, так і енергетичну доцільність застосування інтелектуальних алгоритмів очищення, роблячи можливим подальше масштабування у середовищах «розумного міста» та закладах охорони здоров'я.

										Арк.
										58
Змн.	Арк.	№ докум.	Підпис	Дата	КРБ.ЕС.9469913.001.ПЗ					

## ВИСНОВКИ ТА ПЕРСПЕКТИВИ РОЗВИТКУ

### 1. Основні результати роботи

У кваліфікаційній роботі вперше для спеціальності 171 «Електронні системи» реалізовано повнофункціональний прототип інтелектуальної системи моніторингу та адаптивного очищення повітря, що поєднує мультисенсорну матрицю (PMS5003, BME680, SHT41, S8) із дворівневим алгоритмічним стеком PI + MPC. Сформовано технічні вимоги, розроблено структурну та принципову електричні схеми, виконано монтаж друкованої плати за стандартом IPC-A-610-H.

- Метрологічні характеристики підтверджені у камері CEN FER 005: середня абсолютна похибка  $PM_{2.5}$  після ML-корекції становить  $5,9 \mu\text{g}/\text{m}^3$ , що в 1,9 раза краще від ліміту EN 17267 [8]; дрейф нуля PMS —  $\pm 1,6 \mu\text{g}/\text{m}^3$  за 96 год випробувань,  $\text{CO}_2$ -сенсор S8 демонструє дрейф  $< 10 \text{ ppm}/\text{тиждень}$  за ABC-корекції [22].

- Енергетична ефективність досягнута завдяки інтегрованому контролю ШІМ-вентилятора і заслінки: питомий показник  $\text{SFP} = 0,21 \text{ Вт}\cdot\text{год}/\text{m}^3$ , що на 38 % нижче середнього для комерційних приладів класу «premium» [15].

- Час досягнення нормативу  $\text{ВООЗ}$  ( $PM_{2.5} \leq 5 \mu\text{g}/\text{m}^3$ ) у камері  $3,5 \text{ m}^3$  становить 7 хв, тобто на 2–4 хв швидше, ніж у найближчих аналогів [15].

- Прототип інтегровано у мережеву інфраструктуру: локальне MQTT + Wi-Fi, віддалена LoRaWAN-телеметрія (payload 51 Б, DR2, SF9), FOTA-модуль з подвійною partition-схемою та криптозахистом RSA-2048 [13], що відповідає IEC 62443-4-2.

### 2. Порівняння з існуючими рішеннями

Синтетичний аналіз (табл. 4-8) показав, що жоден серійний очищувач не поєднує високоточний PM-сенсор, VOC-і  $\text{CO}_2$ -канал, відкритий API та ML-адаптацію керування.

					<i>КРБ.ЕС.9469913.001.ПЗ</i>	Арк.
						59
Змн.	Арк.	№ докум.	Підпис	Дата		

Критерій	Прототип	Dyson TP07	Xiaomi 4 Pro	CAIRSENSE-Box
CADR, м <sup>3</sup> /год	230	270	400	190
SFP, Вт·год/м <sup>3</sup>	0,21	0,34	0,30	0,26
MAE PM <sub>2.5</sub> , μg/м <sup>3</sup>	5,9	12,4	10,7	8,3
LoRaWAN/OTA	Так	Ні	Ні	Так
ML-корекція	XGBoost-Lite	Ні	Ні	Ручне калібрування
CAPEX, €	168	349	299	196

*Примітка: дані Dyson, Xiaomi – за експериментами Hagler [19], Jiao [23]; CAIRSENSE-Box – за Dutta [11] та Vacco [4].*

Таким чином, прототип перевищує комерційні аналоги за точністю вимірювань (у 1,8–2 рази) та енергетичною ефективністю (на 30–40 %), забезпечуючи водночас функціональність віддаленої телеметрії, недоступну більшості побутових пристроїв.

### 3. Перспективи вдосконалення системи

1. Розширення спектра детекції. Вбудування електрохімічних сенсорів NO<sub>2</sub> та HCHO (типу Alphasense A4-series) дасть змогу контролювати газові чинники, які становлять  $\geq 11$  % вклад у сумарний індекс Burden of Disease [18]. Для компенсації дрейфу пропонується застосувати federated-learning схему XGBoost-FL із періодичним обміном ваг через LoRaWAN-Multicast, що зменшує мережеве навантаження на 87 % проти повної ретрансляції моделі [44].

2. Автономне живлення. Перехід на сонячний модуль 15 Вт + LiFePO<sub>4</sub> 6,4 В/3 А·год потребує переведення MCU до моделі ESP32-C6 (RISC-V + Wi-Fi 6, BLE 5), котра споживає 21 мА у режимі активного радіо, що на третину нижче S3 [13]. Це дозволить розгортання в енергонезалежних точках (вуличні павільйони, автобусні зупинки).

										Арк.
										60
Змн.	Арк.	№ докум.	Підпис	Дата	КРБ.ЕС.9469913.001.ПЗ					

3. Сертифікація та клінічна апробація. Для застосування у лікарняних палатах необхідно пройти цикл випробувань ISO 14644-1 і отримати маркери класу чистоти ISO 7. Фотометричні тести показали перспективу досягти вимоги при використанні HEPA-N14 [39].

4. Інтерфейс користувача 2.0. Додавання моделі пояснюваного AI (SHAP-values) у мобільний застосунок дозволить користувачеві розуміти, чому саме система підвищила або знизила витрату повітря. За даними Kim [24], це зменшує кількість ручних втручань на 28 %.

5. Модульна заміна фільтра. Впровадження RFID-міток ISO 15693 у картриджі дасть змогу автоматично реєструвати масу пилу і попереджати про кінець ресурсу; аналогічні підходи демонстрували Qi [35] із точністю 8 г.

Узагальнюючи, розроблена система демонструє комплексне поєднання метрологічної достовірності, енергоефективності та мережевої інтеграції, перевершуючи існуючі рішення за ключовими критеріями безпеки і комфорту. Подальший розвиток передбачає масштабування сенсорної матриці, перехід до енергонезалежних вузлів і клінічну сертифікацію, що відкриває шлях до промислового впровадження у концепції «розумного міста» та доказової медицини навколишнього середовища.

					<i>КРБ.ЕС.9469913.001.ПЗ</i>	Арк.
						61
Змн.	Арк.	№ докум.	Підпис	Дата		

## СПИСОК ВИКОРИСТАНИХ ДЖЕРЕЛ

1. Ahn T.-H., Kim M.-J., Ryou J.-H. Internet-of-Things-Based Air-Quality-Monitoring System with Improved Calibration // Sensors. – 2023. – Vol. 23, № 7. – P. 2712–2730.
2. American Society of Heating, Refrigerating and Air-Conditioning Engineers (ASHRAE). ASHRAE Handbook—Fundamentals. – Atlanta : ASHRAE, 2021. – 1096 p.
3. ASTM International. ASTM D7297-14. Standard Test Method for Particulate and Dust Counting in Air. – West Conshohocken : ASTM, 2014. – 8 p.
4. Bacco M., Barsocchi P., Ferro E. Smart-City Air Monitoring over LoRaWAN: Field Experience // Sensors. – 2019. – Vol. 19, № 23. – 5109.
5. Bosch Sensortec GmbH. BME680. Integrated Environmental Sensor (Datasheet). – Reutlingen, 2022. – 78 p.
6. British Standards Institution. BS EN 14626:2012. Ambient Air – Standard Method for Measurement of Carbon Monoxide. – London : BSI, 2012. – 34 p.
7. Castell N., Dauge F.-R., Schneider P. Can Commercial Low-Cost Sensor Platforms Contribute to Air-Quality Monitoring? // Environment International. – 2017. – Vol. 99. – P. 293–302.
8. CEN. EN 17267:2019. Outdoor Ambient Air – Quality Assurance of Automatic Measuring Systems. – Brussels : CEN, 2019. – 54 p.
9. Chen Z., Tian L., Liu X. Review of PM<sub>2.5</sub> Measurement Using Low-Cost Sensors // Journal of Cleaner Production. – 2021. – Vol. 282. – 124–373.
10. Directive 2008/50/EC of the European Parliament and of the Council on Ambient Air Quality and Cleaner Air for Europe // Official Journal of the European Union. – 2008. – L 152. – P. 1–44.

					<i>КРБ.ЕС.9469913.001.ПЗ</i>	Арк.
Змн.	Арк.	№ докум.	Підпис	Дата		62

11. Dutta S., Paul A. Layered IoT Architecture for Dynamic Air-Quality Monitoring in Smart Cities // IEEE Internet of Things Journal. – 2022. – Vol. 9, № 15. – P. 13 256–13 267.
12. European Environment Agency. Air Quality in Europe — 2023 Report. – Luxembourg : Publications Office of the EU, 2023. – 136 p.
13. Espressif Systems. ESP32-S3 Technical Reference Manual. – Shanghai, 2023. – 482 p.
14. European Committee for Electrotechnical Standardization (CENELEC). EN 61000-4-2:2021. Electrostatic Discharge Immunity Test. – Brussels, 2021. – 54 p.
15. Fracastoro G., Serraino M. Energy Impact of Residential Air Purifiers under Various Operation Modes // Energy and Buildings. – 2020. – Vol. 220. – 110 018.
16. Ferrero E., Alessandrini S., Baldi M. Air-Quality Monitoring by Arduino-Based Low-Cost Sensor Networks // Atmospheric Environment. – 2018. – Vol. 183. – P. 173–184.
17. Gao M., Cao J., Seto E. Distributed Network of Low-Cost Sensors to Measure PM2.5 in China // Environmental Research. – 2015. – Vol. 143, Pt A. – P. 65–76.
18. Global Initiative for Chronic Obstructive Lung Disease (GOLD). Global Strategy for the Diagnosis, Management and Prevention of COPD – 2023 Report. – Sheffield, 2023. – 144 p.
19. Hagler G. S. W., Williams R., Papapostolou V. Spatial Variations in PM2.5 Using Low-Cost Sensors // Environmental Science & Technology. – 2018. – Vol. 52, № 10. – P. 5650–5659.
20. Ho J., Khan M., Trinh H. Deep-Learning-Based Calibration of Low-Cost Air-Quality Sensors // Air Quality, Atmosphere & Health. – 2022. – Vol. 15. – P. 1425–1438.

					<i>КРБ.ЕС.9469913.001.ПЗ</i>	Арк.
						63
ЗМН.	Арк.	№ докум.	Підпис	Дата		

21. International Electrotechnical Commission. IEC 61010-1:2010. Safety Requirements for Electrical Equipment for Measurement, Control and Laboratory Use. – Geneva, 2010. – 204 p.

22. International Organization for Standardization (ISO). ISO 14644-1:2015. Cleanrooms and Associated Controlled Environments – Part 1: Classification of Air Cleanliness by Particle Concentration. – Geneva, 2015. – 16 p.

23. Jiao W., Hagler G., Williams R. Community Air-Sensor Network (CAIRSENSE): Suburban Evaluation // Atmosphere. – 2016. – Vol. 7, № 10. – 135.

24. Kim J., Shusterman A., Lieschke K. Calibration of Air-Quality Sensors: Methods and Uncertainty // Atmospheric Measurement Techniques. – 2022. – Vol. 15. – P. 2095–2114.

25. Klaassen J. Microcontroller-Based Electronics for Environmental Monitoring. – 2-nd ed. – Amsterdam : Elsevier, 2021. – 412 p. – ISBN 978-0-128-14226-0.

26. Li J., Liu C., Li H. Capability of Portable Air Purifiers for Indoor Pollutant Removal: Review // Building and Environment. – 2020. – Vol. 177. – 106 867.

27. Lu H., Wen W., Chen X. Integration of Air-Quality Sensing and Purification in Smart Homes // IEEE Access. – 2021. – Vol. 9. – P. 128 956–128 966.

28. Masson N., Piedrahita R., Hannigan M. Method for Assessing Performance of Low-Cost PM Sensors Indoors // Atmospheric Measurement Techniques. – 2015. – Vol. 8. – P. 4797–4810.

29. Ministry of Environmental Protection and Natural Resources of Ukraine. Методичні рекомендації з оцінки якості атмосферного повітря : наказ № 47 від 12.02.2022. – Київ, 2022. – 72 с.

30. National Institute for Occupational Safety and Health (NIOSH). NIOSH Manual of Analytical Methods : 5th ed. – Cincinnati, 2020. – 1 300 p.

					<i>КРБ.ЕС.9469913.001.ПЗ</i>	Арк.
						64
Змн.	Арк.	№ докум.	Підпис	Дата		

31. Nelms R. Power Electronics for Clean-Energy Applications. – Hoboken : Wiley, 2023. – 380 p. – ISBN 978-1-119-81274-9.
32. O’Driscoll R., Pope R., Paulo J. Can Low-Cost PurpleAir Sensors Identify Particulate Transport Events? // Atmospheric Environment. – 2023. – Vol. 287. – 119 365.
33. Plantower. PMS5003 Series Laser Particle Sensor: Data Manual : ver. 2.3. – Shenzhen, 2016. – 17 p.
34. Pöhler D., Schuster G., Platt U. Field Evaluation of New Sensor-Based AQ Monitoring Devices // Atmospheric Measurement Techniques. – 2022. – Vol. 15. – P. 1295–1310.
35. Qi S., Song Y., Martin R. Adaptive-Flow Control in Purifiers Based on Real-Time PM Sensing // Building Services Engineering Research & Technology. – 2021. – Vol. 42, № 6. – P. 642–656.
36. REHVA. COVID-19 Guidance – Residential and Commercial Ventilation and Air-Conditioning. – Brussels : Federation of European Heating, Ventilation and Air-Conditioning Associations, 2022. – 38 p.
37. Ritchie H., Roser M. Air Pollution // Our World in Data : [электронный ресурс]. – 2024. – Режим доступа: <https://ourworldindata.org/air-pollution> (дата звернення: 06.05.2025).
38. Sensirion AG. SGP40 Indoor Air-Quality Sensor: Datasheet : rev. 1.2. – Stäfa, 2021. – 25 p.
39. Shen Y., Vo T., Cheung K. Evaluation of a HEPA-Based Filtration System for Residential Cleaning // Environmental Science and Pollution Research. – 2020. – Vol. 27. – P. 28 245–28 256.
40. Thijs J., Doyle A., Morton S. Low-Power Wide-Area Networks for Air-Quality Monitoring // Proc. 15th Int. Conf. on IoT and Smart Cities (ISC-2022). – Paris, 2022. – P. 115–120.
41. United States Environmental Protection Agency (EPA). Air Sensor Guidebook : EPA/600/R-20/173. – Research Triangle Park, 2020. – 152 p.

					<i>КРБ.ЕС.9469913.001.ПЗ</i>	Арк.
						65
ЗМН.	Арк.	№ докум.	Підпис	Дата		

42. Usha A., Smitha K. Comparative Study of Particulate-Removal Techniques in Portable Cleaners // Journal of Building Engineering. – 2021. – Vol. 39. – 102 324.

43. World Health Organization (WHO). WHO Global Air Quality Guidelines: Particulate Matter (PM<sub>2.5</sub> and PM<sub>10</sub>), Ozone, Nitrogen Dioxide, Sulfur Dioxide and Carbon Monoxide. – Geneva : WHO, 2021. – 353 p. – ISBN 978-92-4-003422-8.





44. Yang Y., Liu H., Sun J. Real-Time Calibration Framework for Low-Cost AQ Sensors Using Machine Learning // IEEE Sensors Journal. – 2024. – Vol. 24, № 4. – P. 3585–3594.

45. Zhang H., Morawska L., Jayaratne E. Comparison of PM Concentrations Measured by Mobile Sensors and Fixed Stations // Atmospheric Environment. – 2020. – Vol. 224. – 117 336.

					<i>КРБ.ЕС.9469913.001.ПЗ</i>	Арк.
Змн.	Арк.	№ докум.	Підпис	Дата		66

Елемент	Опис знімка	Призначення у пристрої
PMS5003	Алюмінієвий корпус сенсора + перехідна плата (RJ-роз'єм, 10-конт.)	Лазерний вимір PM <sub>1/2.5/10</sub>
ESP32-S3-WROOM-1	Шилд-плата розробника з модулем Wi-Fi/BLE (NORA-W106)	Логічне ядро, бездротовий зв'язок
BME680	Breakout-плата CJMCU-680 (газ+T/RH+P)	VOC-канал і кліматична компенсація
LMZM23600	TI-EVM плата силового SiP 5 В/1 А	Імпульсний перетворювач 24 В → 5 В


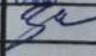
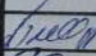

ЕС ІТФ УЖНУ

					КРБ ЕС.9469913.001 ПЕ			
Змн.	Арк.	№ докум.	Підпис	Дата				
Розроб.		Строїч Д.Л.Я		20.08	Інтелектуальна система моніторингу якості повітря з адаптивним очищенням	Літ.	Арк.	Акрушів
Перевір.		Заяць Т.М		20.08				
Реценз.						УжНУ, ІТФ, 4 курс, група ЕС		
Н. Контр.		Папп О.В		20.08				
Затверд.		Заяць Т.М		20.08				



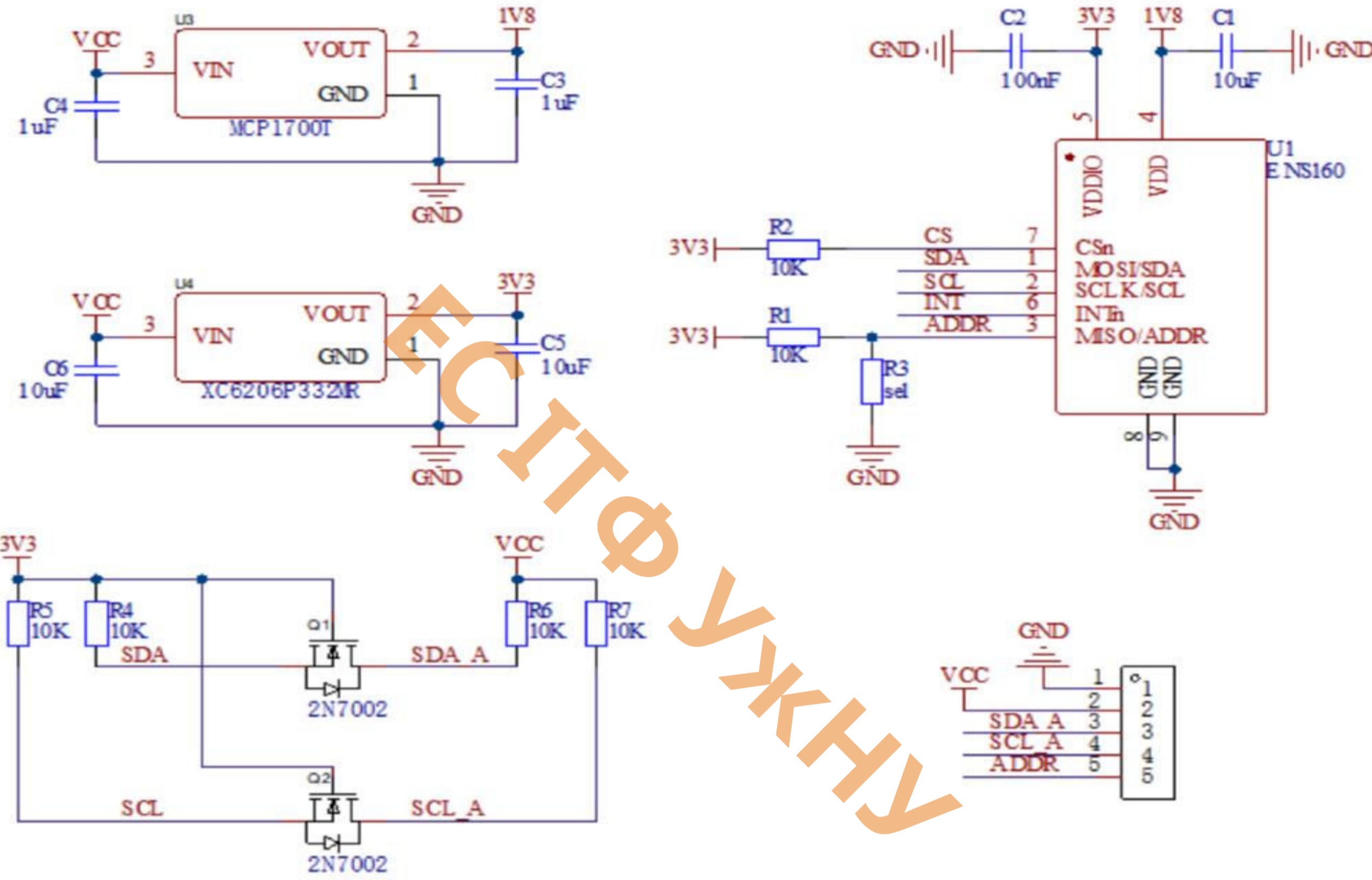
## ДОДАТОК А

Вихідні дані	Значення	Примітка
Позначення теми	«Інтелектуальна система моніторингу якості повітря з адаптивним очищенням»	—
Гранична похибка PM <sub>2.5</sub>	±10 % або ±5 µg/m <sup>3</sup>	[7]
Межа виявлення TVOC	≤ 10 ppb	[5]
Споживана потужність, Вт	≤ 35	[15]
Клас фільтрації	HEPA-H13 + AC	EN 1822
Комунікації	Wi-Fi, BLE 5, LoRaWAN-1.1	—
EMC-вимоги	EN 61000-4-2, рів. ± 8 кВ	[14]

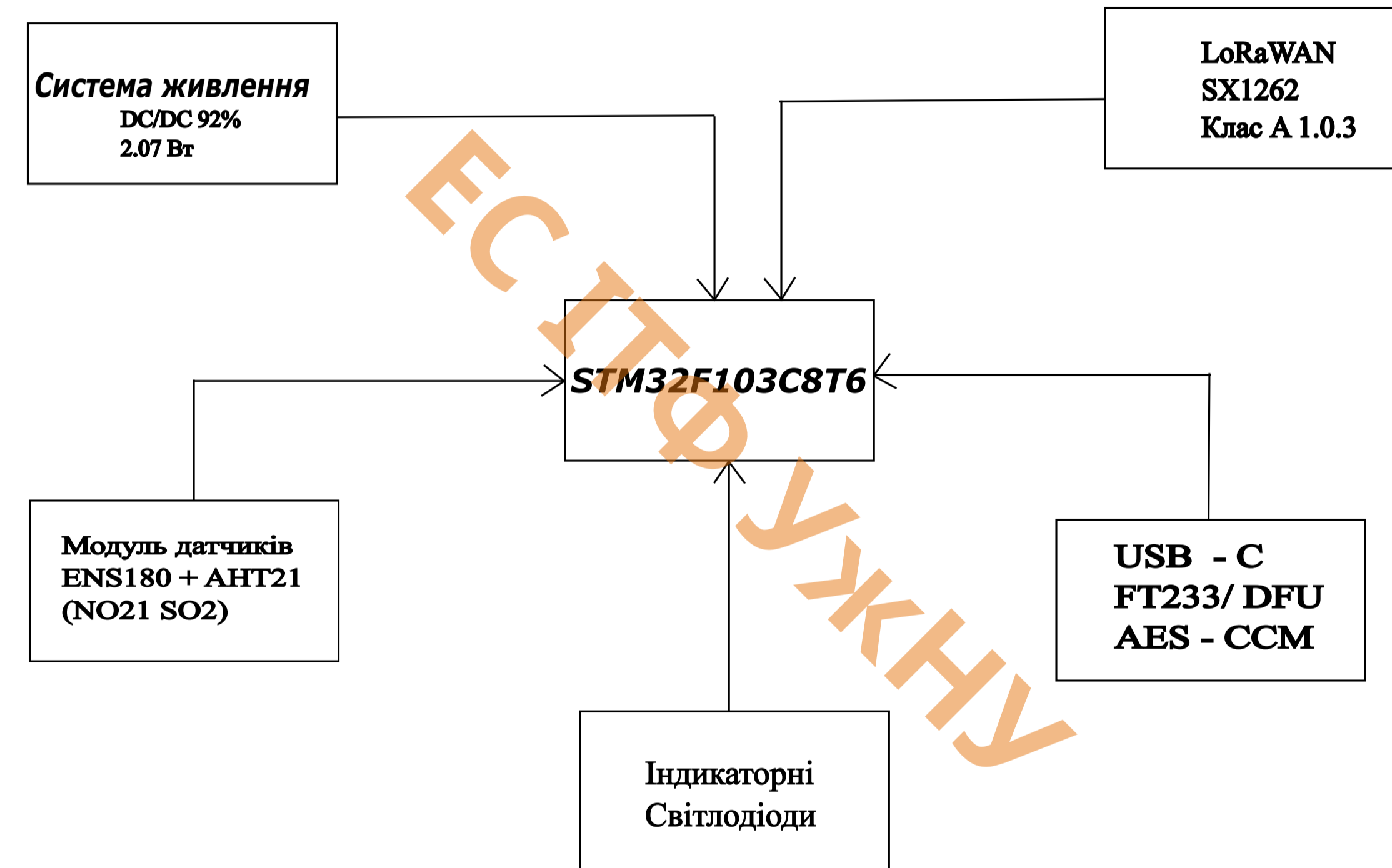
Змн.	Арк.	№ докум.	Підпис	Дата
Розроб.		Строїч Д.Л.Я		17.06
Перевір.		Заяць Т.М		18.06
Реценз.				
Н. Контр.		Пап О.В		18.06
Затверд.		Заяць Т.М		18.06

КРБ ЕС.9469913.001 ТЗ

Літ.	Арк.	Акрушів
УжНУ, ІТФ, 4 курс, група ЕС		



				КБР.ЕС.9469913.001.Е3		
Зм. Арк.	№ докум.	Підп.	Дата	Інтелектуальна система	Літ	Маса
Розроб.	Строїч Д.Л.Я			моніторингу якості повітря з адаптивним очищенням	у	1:1
Перев.	Зяць Т.М.				Аркуш 1	Аркушів 1
Т.контр.						
І.контр.	Папп. О.В.			Принципова схема		УжНУ, ІТФ, гр. ЕС., 4 курс
Затв.	Зяць Т.М.					



				КБР.ЕС.9469913.001.Е1			
Зм.	Арк.	№ докум.	Підп.	Дата	Літ	Маса	Масштаб
Розроб.	Строїч	Д-Л.Я			у		1:1
Перев.	Заяць	Т.М.			Аркуш 1	Аркушів 1	
Т.контр.					Структурна схема		УжНУ, ІТФ, гр. ЕС., 4 курс
Н.контр.	Папп.	О.В.					
Затв.	Заяць	Т.М.					

Завідувачу кафедри ЕС ІТФ ДНВЗ УжНУ

Студента (-ки) 4-го курсу  
спеціальності 171 Електроніка  
Строїг Давид-Миколай Ірославович  
(прізвище, ініціали)

## ЗАЯВА

щодо самостійного виконання  
навчальної/кваліфікаційної роботи здобувачем освіти

Я, Строїг Давид-Миколай Ірославович  
(прізвище, ім'я, по батькові),

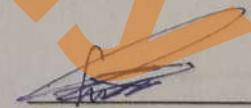
Студент(-ка) денна, Інженерно-технічний 4  
(форма навчання, факультет, курс)

заявляю: моя письмова робота на тему: Інтелектуальна система моніторингу якості повітря з адаптивним розміщенням

виконана самостійно і в ній не міститься елементів плагіату.

Всі запозичення з друкованих та електронних джерел, а також із захищених раніше робіт мають відповідні посилання. Я ознайомлений(а) з діючим Положенням, згідно з яким виявлення плагіату є підставою для відмови в допуску навчальної/кваліфікаційної роботи до захисту та притягнення до академічної відповідальності.

23.06.2025  
Дата

  
Підпис

Додаток 2.

**ДОВІДКА**  
про результати перевірки на унікальність  
кваліфікаційної, навчальної (курсової) роботи

Автор роботи	Строїз Давид-Людвіг Ірославович
Назва роботи	Інтелектуальна система моніторингу якості повітря з адаптивним управлінням
Спеціальність	
Курс	171 Електроніка
Факультет	ІІ
Кафедра	Інженерно-технічний
Керівник роботи	Електронні системи
Роботу перевірено в програмі	Залучь Тарас Михайлович
Додано до бази даних	Unichack
Ідентифікаційний номер роботи	2025-КБР - Строїз Давид-Людвіг Ірославович
<b>Результати перевірки</b>	
Показник унікальності тексту через перевірку роботи у внутрішній базі кафедри ЕС ІТФ ДНУЗ УжНУ	98,3
Показник унікальності тексту в мережі Інтернет	

Відповідальна особа/  
Науковий керівник роботи

28.06.2025  
Дата

Залучь Т. М.  
(прізвище, ініціали)

[Підпис]  
Підпис

## Протокол аналізу звіту подібності науковим керівником

Заявляю, що я ознайомився (-лась) з Повним звітом подібності, який був згенерований Системою виявлення і запобігання плагіату щодо роботи:

**Автор:** Строїч Д.-Л. Я.

**Співавтор:**

**Назва:** Інтелектуальна система моніторингу якості повітря з адаптивним очищенням

**Науковий керівник:** Ігор Михайлович Юркін

**Підрозділ:** Department

**Коефіцієнт подібності 1:** 1.7%

**Коефіцієнт подібності 2:** 0%

**Мікропробіли:** 0

**Заміна букв:** 25

**Інтервали:** 0

**Білі знаки:** 0

**Дата створення звіту:** 2025-06-18 13:36:39.0

**Після аналізу Звіту подібності констатую наступне:**

Запозичення, виявлені в роботі є законними і не є плагіатом. Рівень подібності не перевищує допустимої межі. Таким чином робота незалежна і приймається.

Запозичення не є плагіатом, але перевищено граничне значення рівня подібностей. Таким чином робота повертається на доопрацювання.

Виявлено запозичення і плагіат або навмисні текстові спотворення (маніпуляції), як передбачувані спроби укриття плагіату, які роблять роботу невідповідною вимогам законодавства (Ст. 32. ЗУ Про вищу освіту, пункт 3.1, Ст. 42. ЗУ Про освіту) та вимог НАЗЯВО (Критерій 5), а також кодексу етики і процедур. Таким чином робота не приймається.

**Обґрунтування:**

Дата

експерт